

BAB IV

HASIL DAN PEMBAHASAN

4.1 Nilai Beda Potensial

Penyelidikan nilai potensial diri ini dilakukan pada tanggal 21, 22, dan 25 April 2018 pada area persawahan di tiga desa, yaitu Desa Sukowidodo, Desa Sembon, dan Desa Gedangan dengan total luas 149,268 m² (dokumentasi ditunjukkan dalam **Lampiran V**). Penyelidikan lapangan dilakukan berdasarkan 4 lintasan, yaitu lintasan 1 (panjang 304 meter) terdapat 39 titik penyelidikan, lintasan 2 (panjang 451 meter) terdapat 58 titik penyelidikan, lintasan 3 (panjang 560 meter) terdapat 70 titik penyelidikan, dan lintasan 4 (panjang 299 meter) terdapat 39 titik penyelidikan. Data hasil penyelidikan di lapangan ditunjukkan dalam **Lampiran IV**. Setelah didapatkan data hasil penyelidikan yaitu data nilai beda potensial sebagai fungsi waktu dan sebagai fungsi posisi, kemudian data tersebut dihitung untuk mendapatkan nilai beda potensial terkoreksi.

(1) Perhitungan nilai data beda potensial sebagai fungsi waktu

Perhitungan pada data beda potensial sebagai fungsi waktu dilakukan untuk mencari nilai variasi harian yang nantinya akan digunakan untuk mengkoreksi data beda potensial sebagai fungsi posisi. Hasil pengolahan data beda potensial sebagai fungsi waktu ditunjukkan pada **Tabel 4.1** sampai dengan **Tabel 4.3**.

Tabel 4.1

Nilai koreksi variasi harian pada data beda potensial sebagai fungsi waktu tanggal 21 April 2018

No.	Waktu	Potensial (mV)					Rerata	Variasi Harian
		1	2	3	4	5		
1	8:36	-1,1	-1,0	-1,0	-1,0	-1,0	-1,02	-
2	8:38	-0,9	-0,9	-0,9	-0,9	-0,9	-0,90	-
3	8:40	-0,9	-0,9	-0,9	-0,9	-0,9	-0,90	-
4	8:42	-0,8	-0,8	-0,8	-0,8	-0,8	-0,80	-
5	8:44	-0,7	-0,7	-0,7	-0,7	-0,7	-0,70	-
6	8:46	-0,7	-0,7	-0,7	-0,7	-0,7	-0,70	-
7	8:48	-0,7	-0,6	-0,6	-0,6	-0,6	-0,62	-
8	8:50	-0,6	-0,6	-0,6	-0,5	-0,5	-0,56	-
9	8:52	-0,5	-0,5	-0,5	-0,5	-0,5	-0,50	-
10	8:54	-0,4	-0,4	-0,4	-0,4	-0,4	-0,40	-
11	8:56	-0,4	-0,4	-0,4	-0,4	-0,4	-0,40	-
12	8:58	-0,4	-0,4	-0,4	-0,3	-0,3	-0,36	-
13	9:00	-0,3	-0,3	-0,3	-0,3	-0,3	-0,30	-
14	9:02	-0,3	-0,3	-0,3	-0,3	-0,3	-0,30	-

Keterangan: “-” berarti tidak dilakukan perhitungan karena berada sebelum nilai dasar

Lanjutan Tabel 4.1 Nilai koreksi variasi harian pada data beda potensial sebagai fungsi waktu tanggal 21 April 2018

No.	Waktu	Potensial (mV)					Rerata	Variasi Harian
		1	2	3	4	5		
15	9:04	-0,3	-0,3	-0,3	-0,3	-0,2	-0,28	-
16	9:06	-0,2	-0,2	-0,2	-0,2	-0,2	-0,20	-
17	9:08	-0,2	-0,1	-0,1	-0,1	-0,1	-0,12	-
18	9:10	-0,1	-0,1	-0,1	-0,1	-0,1	-0,10	-
19	9:12	-0,1	-0,1	-0,1	-0,1	-0,1	-0,10	-
20	9:14	-0,1	-0,1	-0,1	-0,1	-0,1	-0,10	-
21	9:16	-0,1	-0,1	-0,1	-0,1	-0,1	-0,10	-
22	9:18	-0,1	0,0	0,0	0,0	0,0	-0,02	-
23	9:20	0,0	0,0	0,0	0,0	0,0	0,00	-
24	9:22	0,0	0,0	0,0	0,0	0,0	0,00	-
25	9:24	0,0	0,0	0,0	0,0	0,0	0,00	-
26	9:26	0,0	0,0	0,0	0,0	0,0	0,00	-
27	9:28	0,1	0,1	0,1	0,1	0,1	0,10	-
28	9:30	0,1	0,1	0,1	0,1	0,1	0,10	0,00
29	9:32	0,1	0,1	0,1	0,1	0,1	0,10	0,00
30	9:34	0,2	0,2	0,2	0,2	0,2	0,20	0,10
31	9:36	0,2	0,2	0,2	0,2	0,3	0,22	0,12
32	9:38	0,3	0,3	0,3	0,3	0,3	0,30	0,20
33	9:40	0,3	0,3	0,3	0,3	0,3	0,30	0,20
34	9:42	0,3	0,3	0,3	0,3	0,3	0,30	0,20
35	9:44	0,3	0,3	0,3	0,3	0,3	0,30	0,20
36	9:46	0,3	0,3	0,3	0,3	0,3	0,30	0,20
37	9:48	0,3	0,3	0,3	0,3	0,3	0,30	0,20
38	9:50	0,3	0,3	0,3	0,3	0,3	0,30	0,20
39	9:52	0,4	0,4	0,4	0,4	0,5	0,42	0,32
40	9:54	0,5	0,5	0,5	0,5	0,5	0,50	0,40
41	9:56	0,6	0,6	0,5	0,6	0,6	0,58	0,48
42	9:58	0,6	0,7	0,7	0,7	0,7	0,68	0,58
43	10:00	0,7	0,7	0,7	0,7	0,7	0,70	0,60
44	10:02	0,7	0,7	0,7	0,7	0,7	0,70	0,60
45	10:04	0,8	0,8	0,8	0,8	0,8	0,80	0,70
46	10:06	0,8	0,8	0,8	0,8	0,9	0,82	0,72
47	10:08	0,9	0,9	0,9	0,9	0,9	0,90	0,80
48	10:10	1,0	1,0	1,0	1,0	1,0	1,00	0,90
49	10:12	1,0	1,0	1,0	1,0	1,0	1,00	0,90
50	10:14	1,1	1,1	1,1	1,1	1,1	1,10	1,00
51	10:16	1,1	1,1	1,1	1,1	1,1	1,10	1,00
52	10:18	1,2	1,2	1,2	1,2	1,2	1,20	1,10
53	10:20	1,2	1,3	1,3	1,3	1,3	1,28	1,18
54	10:22	1,3	1,3	1,3	1,3	1,3	1,30	1,20
55	10:24	1,4	1,4	1,4	1,4	1,4	1,40	1,30
56	10:26	1,4	1,4	1,4	1,4	1,4	1,40	1,30
57	10:28	1,4	1,4	1,4	1,4	1,4	1,40	1,30
58	10:30	1,4	1,4	1,4	1,4	1,4	1,40	1,30
59	10:32	1,4	1,4	1,4	1,4	1,4	1,40	1,30

Keterangan: “-” berarti tidak dilakukan perhitungan karena berada sebelum nilai dasar

Lanjutan Tabel 4.1 Nilai koreksi variasi harian pada data beda potensial sebagai fungsi waktu tanggal 21 April 2018

No.	Waktu	Potensial (mV)					Rerata	Variasi Harian
		1	2	3	4	5		
60	10:34	1,4	1,4	1,4	1,4	1,4	1,40	1,30
61	10:36	1,5	1,5	1,5	1,5	1,5	1,50	1,40
62	10:38	1,5	1,5	1,5	1,5	1,5	1,50	1,40
63	10:40	1,5	1,5	1,5	1,5	1,5	1,50	1,40
64	10:42	1,5	1,5	1,5	1,5	1,5	1,50	1,40
65	10:44	1,5	1,5	1,5	1,5	1,5	1,50	1,40
66	10:46	1,5	1,5	1,5	1,5	1,5	1,50	1,40
67	10:48	1,5	1,5	1,5	1,5	1,6	1,52	1,42
68	10:50	1,6	1,6	1,6	1,6	1,6	1,60	1,50
69	10:52	1,6	1,6	1,6	1,6	1,6	1,60	1,50
70	10:54	1,6	1,7	1,7	1,7	1,7	1,68	1,58
71	10:56	1,7	1,7	1,7	1,7	1,7	1,70	1,60
72	10:58	1,7	1,7	1,7	1,7	1,7	1,70	1,60
73	11:00	1,6	1,6	1,7	1,7	1,6	1,64	1,54
74	11:02	1,7	1,7	1,7	1,7	1,7	1,70	1,60
75	11:04	1,7	1,7	1,7	1,7	1,7	1,70	1,60
76	11:06	1,7	1,7	1,7	1,7	1,7	1,70	1,60
77	11:08	1,7	1,7	1,7	1,7	1,7	1,70	1,60
78	11:10	1,7	1,7	1,7	1,7	1,7	1,70	1,60
79	11:12	1,7	1,7	1,7	1,7	1,7	1,70	1,60
80	11:14	1,7	1,7	1,7	1,7	1,7	1,70	1,60
81	11:16	1,7	1,7	1,7	1,7	1,7	1,70	1,60
82	11:18	1,7	1,7	1,7	1,7	1,7	1,70	1,60
83	11:20	1,8	1,8	1,8	1,8	1,8	1,80	1,70
84	11:22	1,8	1,8	1,8	1,8	1,8	1,80	1,70
85	11:24	2,0	2,0	1,9	1,9	1,9	1,94	1,84
86	11:26	1,5	1,5	1,5	1,5	1,5	1,50	1,40
87	11:28	1,5	1,5	1,5	1,5	1,5	1,50	1,40
88	11:30	1,5	1,5	1,5	1,5	1,4	1,48	1,38
89	11:32	2,1	2,0	1,9	1,9	1,9	1,96	1,86
90	11:34	1,5	1,5	1,5	1,5	1,5	1,50	1,40
91	11:36	1,5	1,5	1,5	1,5	1,5	1,50	1,40
92	11:38	1,5	1,5	1,5	1,5	1,5	1,50	1,40
93	11:40	1,4	1,5	1,5	1,5	1,5	1,48	1,38
94	11:42	1,6	1,6	1,6	1,6	1,6	1,60	1,50
95	11:44	1,7	1,7	1,7	1,7	1,7	1,70	1,60
96	11:46	1,5	1,5	1,5	1,5	1,5	1,50	1,40
97	11:48	1,5	1,5	1,4	1,5	1,5	1,48	1,38
98	11:50	1,5	1,5	1,5	1,5	1,5	1,50	1,40
99	11:52	1,5	1,5	1,5	1,5	1,5	1,50	1,40
100	11:54	1,4	1,4	1,4	1,4	1,4	1,40	1,30
101	11:56	1,5	1,5	1,4	1,4	1,4	1,44	1,34
102	11:58	1,4	1,4	1,3	1,3	1,3	1,34	1,24
103	12:00	1,3	1,3	1,3	1,3	1,3	1,30	1,20
104	12:02	-	-	-	-	-	-	-
105	12:04	-	-	-	-	-	-	-

Keterangan: “-” berarti istirahat

Lanjutan Tabel 4.1 Nilai koreksi variasi harian pada data beda potensial sebagai fungsi waktu tanggal 21 April 2018

No.	Waktu	Potensial (mV)					Rerata	Variasi Harian
		1	2	3	4	5		
106	12:06	-	-	-	-	-	-	-
107	12:08	-	-	-	-	-	-	-
108	12:10	-	-	-	-	-	-	-
109	12:12	-	-	-	-	-	-	-
110	12:14	-	-	-	-	-	-	-
111	12:16	-	-	-	-	-	-	-
112	12:18	-	-	-	-	-	-	-
113	12:20	-	-	-	-	-	-	-
114	12:22	-	-	-	-	-	-	-
115	12:24	-	-	-	-	-	-	-
116	12:26	-	-	-	-	-	-	-
117	12:28	-	-	-	-	-	-	-
118	12:30	-	-	-	-	-	-	-
119	12:32	-	-	-	-	-	-	-
120	12:34	-	-	-	-	-	-	-
121	12:36	-	-	-	-	-	-	-
122	12:38	-	-	-	-	-	-	-
123	12:40	-	-	-	-	-	-	-
124	12:42	-	-	-	-	-	-	-
125	12:44	-	-	-	-	-	-	-
126	12:46	-	-	-	-	-	-	-
127	12:48	-	-	-	-	-	-	-
128	12:50	-	-	-	-	-	-	-
129	12:52	-	-	-	-	-	-	-
130	12:54	-	-	-	-	-	-	-
131	12:56	-	-	-	-	-	-	-
132	12:58	-	-	-	-	-	-	-
133	13:00	-	-	-	-	-	-	-
134	13:02	-	-	-	-	-	-	-
135	13:04	-	-	-	-	-	-	-
136	13:06	-	-	-	-	-	-	-
137	13:08	-	-	-	-	-	-	-
138	13:10	-	-	-	-	-	-	-
139	13:12	-	-	-	-	-	-	-
140	13:14	-	-	-	-	-	-	-
141	13:16	-	-	-	-	-	-	-
142	13:18	-	-	-	-	-	-	-
143	13:20	1,5	1,5	1,4	1,4	1,4	1,44	1,34
144	13:22	1,3	1,3	1,3	1,3	1,3	1,30	1,20
145	13:24	1,2	1,2	1,2	1,2	1,2	1,20	1,10
146	13:26	1,1	1,2	1,1	1,1	1,1	1,12	1,02
147	13:28	1,1	1,1	1,1	1,1	1,1	1,10	1,00
148	13:30	1,1	1,2	1,2	1,2	1,2	1,18	1,08
149	13:32	1,2	1,2	1,2	1,2	1,2	1,20	1,10
150	13:34	1,2	1,2	1,2	1,2	1,2	1,20	1,10
151	13:36	1,2	1,2	1,2	1,2	1,2	1,20	1,10

Keterangan: “-” berarti istirahat

Lanjutan Tabel 4.1 Nilai koreksi variasi harian pada data beda potensial sebagai fungsi waktu tanggal 21 April 2018

No.	Waktu	Potensial (mV)					Rerata	Variasi Harian
		1	2	3	4	5		
152	13:38	1,2	1,3	1,3	1,3	1,3	1,28	1,18
153	13:40	1,3	1,3	1,3	1,3	1,3	1,30	1,20
154	13:42	1,3	1,3	1,3	1,3	1,3	1,30	1,20
155	13:44	1,3	1,3	1,3	1,3	1,3	1,30	1,20
156	13:46	1,3	1,3	1,4	1,4	1,4	1,36	1,26
157	13:48	1,4	1,4	1,4	1,4	1,4	1,40	1,30
158	13:50	1,4	1,4	1,4	1,4	1,5	1,42	1,32
159	13:52	1,5	1,5	1,5	1,5	1,5	1,50	1,40
160	13:54	1,5	1,5	1,5	1,5	1,5	1,50	1,40
161	13:56	1,5	1,5	1,5	1,5	1,5	1,50	1,40
162	13:58	1,5	1,5	1,5	1,5	1,5	1,50	1,40
163	14:00	1,5	1,5	1,5	1,5	1,5	1,50	1,40
164	14:02	1,5	1,5	1,5	1,5	1,5	1,50	1,40
165	14:04	1,4	1,4	1,4	1,4	1,4	1,40	1,30
166	14:06	1,4	1,4	1,4	1,4	1,4	1,40	1,30
167	14:08	1,4	1,4	1,4	1,4	1,4	1,40	1,30
168	14:10	1,4	1,4	1,4	1,4	1,5	1,42	1,32
169	14:12	1,5	1,5	1,5	1,5	1,5	1,50	1,40
170	14:14	1,5	1,6	1,6	1,6	1,6	1,58	1,48
171	14:16	1,7	1,7	1,7	1,7	1,7	1,70	1,60
172	14:18	1,7	1,7	1,7	1,7	1,7	1,70	1,60
173	14:20	1,7	1,7	1,7	1,7	1,7	1,70	1,60
174	14:22	1,7	1,7	1,7	1,7	1,7	1,70	1,60
175	14:24	1,6	1,6	1,7	1,7	1,7	1,66	1,56
176	14:26	1,6	1,6	1,6	1,6	1,6	1,60	1,50
177	14:28	1,5	1,5	1,5	1,5	1,5	1,50	1,40
178	14:30	1,6	1,6	1,6	1,6	1,6	1,60	1,50
179	14:32	1,7	1,7	1,7	1,7	1,7	1,70	1,60
180	14:34	1,8	1,8	1,8	1,8	1,8	1,80	1,70
181	14:36	1,7	1,7	1,7	1,7	1,7	1,70	1,60
182	14:38	1,6	1,6	1,6	1,6	1,5	1,58	1,48
183	14:40	1,5	1,5	1,5	1,5	1,5	1,50	1,40
184	14:42	1,5	1,5	1,5	1,5	1,5	1,50	1,40
185	14:44	1,4	1,4	1,4	1,4	1,4	1,40	1,30
186	14:46	1,3	1,3	1,3	1,3	1,3	1,30	1,20
187	14:48	1,1	1,1	1,1	1,1	1,1	1,10	1,00
188	14:50	0,9	0,8	0,8	0,8	0,8	0,82	0,72
189	14:52	0,6	0,7	0,7	0,7	0,7	0,68	0,58
190	14:54	0,6	0,6	0,7	0,7	0,7	0,66	0,56
191	14:56	0,6	0,6	0,6	0,6	0,6	0,60	0,50
192	14:58	0,7	0,6	0,6	0,6	0,6	0,62	0,52
193	15:00	0,6	0,6	0,6	0,6	0,6	0,60	0,50
194	15:02	0,6	0,6	0,6	0,6	0,6	0,60	0,50
195	15:04	0,5	0,5	0,6	0,6	0,6	0,56	0,46
196	15:06	0,7	0,7	0,7	0,7	0,7	0,70	0,60
197	15:08	0,6	0,6	0,7	0,7	0,7	0,66	0,56

Lanjutan Tabel 4.1 Nilai koreksi variasi harian pada data beda potensial sebagai fungsi waktu tanggal 21 April 2018

No.	Waktu	Potensial (mV)					Rerata	Variasi Harian
		1	2	3	4	5		
198	15:10	0,7	0,7	0,7	0,7	0,7	0,70	0,60
199	15:12	0,7	0,7	0,7	0,7	0,7	0,70	0,60
200	15:14	0,7	0,7	0,7	0,7	0,7	0,70	0,60
201	15:16	0,6	0,5	0,6	0,5	0,5	0,54	0,44
202	15:18	0,6	0,6	0,6	0,6	0,6	0,60	0,50
203	15:20	0,6	0,6	0,6	0,6	0,6	0,60	0,50
204	15:22	0,6	0,6	0,6	0,6	0,6	0,60	0,50
205	15:24	0,6	0,6	0,6	0,6	0,6	0,60	0,50
206	15:26	0,6	0,7	0,7	0,7	0,7	0,68	0,58
207	15:28	0,7	0,7	0,7	0,8	0,8	0,74	0,64
208	15:30	0,8	0,8	0,8	0,8	0,8	0,80	0,70
209	15:32	0,7	0,7	0,7	0,7	0,7	0,70	0,60
210	15:34	0,7	0,7	0,7	0,7	0,7	0,70	0,60
211	15:36	0,6	0,6	0,6	0,6	0,6	0,60	0,50
212	15:38	0,7	0,8	0,8	0,8	0,8	0,78	0,68
213	15:40	0,7	0,7	0,6	0,6	0,6	0,64	0,54
214	15:42	0,5	0,5	0,5	0,5	0,5	0,50	0,40
215	15:44	0,8	0,8	0,9	0,9	0,9	0,86	0,76
216	15:46	0,8	0,8	0,8	0,7	0,7	0,76	0,66
217	15:48	0,6	0,6	0,6	0,6	0,6	0,60	0,50
218	15:50	0,5	0,5	0,5	0,5	0,5	0,50	0,40
219	15:52	0,5	0,5	0,5	0,5	0,5	0,50	0,40
220	15:54	0,6	0,6	0,6	0,6	0,6	0,60	0,50
221	15:56	0,7	0,7	0,7	0,7	0,7	0,70	0,60
222	15:58	0,6	0,6	0,6	0,6	0,6	0,60	0,50
223	16:00	0,6	0,6	0,6	0,6	0,6	0,60	0,50
224	16:02	0,7	0,7	0,7	0,7	0,7	0,70	0,60
225	16:04	0,6	0,6	0,7	0,7	0,7	0,66	0,56
226	16:06	0,8	0,8	0,8	0,8	0,8	0,80	0,70
227	16:08	0,8	0,9	0,9	0,9	0,9	0,88	0,78
228	16:10	1,1	1,1	1,1	1,1	1,1	1,10	1,00
229	16:12	1,1	1,1	1,1	1,1	1,1	1,10	1,00
230	16:14	1,1	1,1	1,1	1,1	1,1	1,10	1,00
231	16:16	1,1	1,1	1,1	1,2	1,2	1,14	1,04
232	16:18	1,1	1,1	1,1	1,1	1,1	1,10	1,00
233	16:20	1,1	1,1	1,1	1,1	1,1	1,10	1,00
234	16:22	1,1	1,1	1,1	1,1	1,1	1,10	1,00
235	16:24	1,1	1,1	1,1	1,1	1,1	1,10	1,00
236	16:26	1,1	1,1	1,1	1,1	1,1	1,10	1,00
237	16:28	1,1	1,0	1,0	1,0	1,0	1,02	0,92
238	16:30	1,0	1,0	1,0	1,0	1,0	1,00	0,90
239	16:32	0,9	0,9	0,9	0,9	0,9	0,90	0,80
240	16:34	1,0	1,0	0,9	0,9	0,9	0,94	0,84
241	16:36	0,9	0,9	0,9	0,9	0,9	0,90	0,80
242	16:38	1,0	1,0	1,0	1,0	1,0	1,00	0,90
243	16:40	0,9	0,9	0,9	0,9	0,9	0,90	0,80

Lanjutan Tabel 4.1 Nilai koreksi variasi harian pada data beda potensial sebagai fungsi waktu tanggal 21 April 2018

No.	Waktu	Potensial (mV)					Rerata	Variasi Harian
		1	2	3	4	5		
244	16:42	0,9	0,9	0,9	0,9	0,9	0,90	0,80
245	16:44	0,9	0,8	0,8	0,8	0,8	0,82	0,72
246	16:46	0,7	0,7	0,7	0,7	0,7	0,70	0,60
247	16:48	0,8	0,8	0,9	0,9	0,9	0,86	0,76
248	16:50	0,9	0,9	0,9	0,9	0,9	0,90	0,80
249	16:52	1,0	1,0	1,1	1,1	1,1	1,06	0,96
250	16:54	0,9	0,9	0,9	0,9	0,9	0,90	0,80
251	16:56	0,9	0,9	0,9	0,9	0,9	0,90	0,80
252	16:58	0,9	0,9	0,9	0,9	0,9	0,90	0,80
253	17:00	0,9	0,8	0,8	0,8	0,8	0,82	0,72
254	17:02	0,9	0,9	0,9	0,9	0,9	0,90	0,80
255	17:04	0,9	1,0	0,9	1,0	1,0	0,96	0,86
256	17:06	1,0	1,0	1,0	1,0	1,0	1,00	0,90
257	17:08	1,1	1,1	1,1	1,1	1,1	1,10	1,00
258	17:10	1,2	1,1	1,1	1,1	1,1	1,12	1,02
259	17:12	1,1	1,1	1,1	1,1	1,1	1,10	1,00
260	17:14	1,1	1,1	1,1	1,1	1,1	1,10	1,00
261	17:16	1,1	1,1	1,1	1,1	1,1	1,10	1,00
262	17:18	1,2	1,2	1,2	1,2	1,2	1,20	1,10
263	17:20	1,2	1,2	1,2	1,2	1,2	1,20	1,10
264	17:22	1,1	1,1	1,1	1,1	1,1	1,10	1,00
265	17:24	1,1	1,1	1,1	1,1	1,1	1,10	1,00
266	17:26	1,2	1,2	1,2	1,2	1,2	1,20	1,10

Proses perhitungan dari tabel di atas dapat diberikan pada contoh perhitungan sebagai berikut:

1. Menghitung nilai rerata dari data nilai beda potensial per waktu.

Contoh perhitungan:

Pada pukul 08:36 WIB

$$\text{Rerata} = \frac{(-1.1)+(-1.0)+(-1.0)+(-1.0)+(-1.0)}{5} = -1.02 \text{ mV}$$

2. Pemilihan nilai dasar, nilai dasar yang dipilih pada data nilai beda potensial sebagai fungsi waktu ini adalah nilai rerata beda potensial pada pukul 09:30 WIB, karena pengambilan data nilai beda potensial sebagai fungsi posisi pertama pada tanggal 21 April diambil pada waktu tersebut. Jadi nilai dasar yang dipilih adalah 0.10 mV.
3. Koreksi variasi harian, yaitu selisih antara beda potensial pada waktu tertentu dengan beda potensial pada nilai dasar dengan perhitungan sebagai berikut:

Waktu yang dipakai adalah pukul 09:30 – 17:26 WIB

Pukul 09:30 WIB

$$\begin{aligned}
 \text{Koreksi variasi harian} &= \Delta V_{\text{terukur}} - \Delta V_{\text{nilai dasar}} \\
 &= 0,10 - 0,10 \\
 &= 0 \text{ mV}
 \end{aligned}$$

Pukul 11:40 WIB

$$\begin{aligned}
 \text{Koreksi variasi harian} &= \Delta V_{\text{terukur}} - \Delta V_{\text{nilai dasar}} \\
 &= 1,48 - 0,10 \\
 &= 1,38 \text{ mV}
 \end{aligned}$$

Pukul 17:26 WIB

$$\begin{aligned}
 \text{Koreksi variasi harian} &= \Delta V_{\text{terukur}} - \Delta V_{\text{nilai dasar}} \\
 &= 1,20 - 0,10 \\
 &= 1,10 \text{ mV}
 \end{aligned}$$

Dengan cara yang sama perhitungan nilai koreksi variasi harian pada data beda potensial sebagai fungsi waktu untuk hari ke-2 (22 April 2018) dan hari ke-3 (25 April 2018) ditunjukkan dalam **Tabel 4.2** dan **Tabel 4.3**.

Tabel 4.2

Nilai koreksi variasi harian pada data beda potensial sebagai fungsi waktu tanggal 22 April 2018

No.	Waktu	Potensial (mV)					Rerata	Variasi Harian
		1	2	3	4	5		
1	8:00	0,5	0,5	0,5	0,5	0,5	0,50	-
2	8:02	0,5	0,5	0,5	0,5	0,5	0,50	-
3	8:04	0,5	0,6	0,6	0,6	0,6	0,58	-
4	8:06	0,8	0,8	0,8	0,8	0,9	0,82	-
5	8:08	1,0	1,1	1,1	1,1	1,1	1,08	-
6	8:10	1,3	1,3	1,4	1,4	1,4	1,36	-
7	8:12	1,8	1,8	1,9	1,9	1,9	1,86	-
8	8:14	2,1	2,1	2,1	2,2	2,2	2,14	-
9	8:16	2,5	2,5	2,5	2,6	2,6	2,54	-
10	8:18	2,8	2,8	2,9	2,9	2,9	2,86	-
11	8:20	3,1	3,2	3,2	3,3	3,3	3,22	-
12	8:22	3,7	3,7	3,7	3,7	3,7	3,70	-
13	8:24	3,8	3,9	3,9	3,9	3,9	3,88	-
14	8:26	4,0	4,0	4,0	4,0	4,0	4,00	-
15	8:28	4,2	4,2	4,2	4,2	4,2	4,20	-
16	8:30	4,4	4,4	4,4	4,4	4,4	4,40	-
17	8:32	4,5	4,5	4,5	4,5	4,5	4,50	-
18	8:34	4,6	4,7	4,7	4,6	4,7	4,66	-
19	8:36	4,7	4,7	4,7	4,8	4,8	4,74	-
20	8:38	4,8	4,8	4,7	4,8	4,9	4,80	-
21	8:40	4,9	4,9	4,9	4,9	4,9	4,90	-
22	8:42	5,0	5,0	5,0	5,0	5,0	5,00	-
23	8:44	5,0	5,0	5,0	4,9	5,0	4,98	-
24	8:46	5,0	4,9	4,9	4,9	4,9	4,92	-
25	8:48	4,9	4,9	4,9	4,9	4,9	4,90	-
26	8:50	4,9	4,9	4,9	4,9	4,9	4,90	-

Keterangan: “-” berarti tidak dilakukan perhitungan karena berada sebelum nilai dasar

Lanjutan Tabel 4.2 Nilai koreksi variasi harian pada data beda potensial sebagai fungsi waktu tanggal 22 April 2018

No.	Waktu	Potensial (mV)					Rerata	Variasi Harian
		1	2	3	4	5		
27	8:52	4,8	4,8	4,8	4,8	4,8	4,80	-
28	8:54	4,8	4,7	4,7	4,7	4,7	4,72	-
29	8:56	4,7	4,7	4,7	4,7	4,7	4,70	-
30	8:58	4,6	4,6	4,6	4,6	4,6	4,60	-
31	9:00	4,5	4,5	4,5	4,5	4,5	4,50	-
32	9:02	4,5	4,5	4,5	4,4	4,4	4,46	-
33	9:04	4,4	4,3	4,4	4,4	4,4	4,38	-
34	9:06	4,3	4,3	4,3	4,3	4,3	4,30	-
35	9:08	4,3	4,3	4,3	4,3	4,2	4,28	0,00
36	9:10	4,2	4,2	4,2	4,2	4,2	4,20	-0,08
37	9:12	4,2	4,1	4,1	4,1	4,1	4,12	-0,16
38	9:14	4,1	4,1	4,1	4,1	4,1	4,10	-0,18
39	9:16	4,1	4,1	4,1	4,1	4,1	4,10	-0,18
40	9:18	4,0	4,0	4,0	4,0	4,0	4,00	-0,28
41	9:20	3,9	3,9	3,9	3,9	3,9	3,90	-0,38
42	9:22	3,9	3,9	3,9	3,9	3,9	3,90	-0,38
43	9:24	3,8	3,8	3,8	3,8	3,8	3,80	-0,48
44	9:26	3,8	3,7	3,7	3,7	3,7	3,72	-0,56
45	9:28	3,7	3,7	3,7	3,7	3,7	3,70	-0,58
46	9:30	3,7	3,7	3,7	3,7	3,7	3,70	-0,58
47	9:32	3,7	3,7	3,7	3,7	3,7	3,70	-0,58
48	9:34	3,6	3,6	3,5	3,5	3,5	3,54	-0,74
49	9:36	3,5	3,5	3,5	3,5	3,5	3,50	-0,78
50	9:38	3,4	3,4	3,4	3,4	3,4	3,40	-0,88
51	9:40	3,4	3,3	3,3	3,3	3,3	3,32	-0,96
52	9:42	3,3	3,3	3,3	3,3	3,3	3,30	-0,98
53	9:44	3,3	3,3	3,3	3,3	3,3	3,30	-0,98
54	9:46	3,4	3,4	3,4	3,4	3,4	3,40	-0,88
55	9:48	3,4	3,4	3,4	3,4	3,4	3,40	-0,88
56	9:50	3,4	3,5	3,5	3,5	3,5	3,48	-0,80
57	9:52	3,5	3,5	3,5	3,5	3,5	3,50	-0,78
58	9:54	3,6	3,5	3,6	3,6	3,6	3,58	-0,70
59	9:56	3,6	3,6	3,6	3,6	3,6	3,60	-0,68
60	9:58	3,5	3,5	3,5	3,5	3,5	3,50	-0,78
61	10:00	3,5	3,5	3,5	3,5	3,5	3,50	-0,78
62	10:02	3,5	3,5	3,5	3,5	3,5	3,50	-0,78
63	10:04	3,6	3,6	3,6	3,6	3,6	3,60	-0,68
64	10:06	3,6	3,6	3,6	3,6	3,6	3,60	-0,68
65	10:08	3,6	3,7	3,7	3,7	3,7	3,68	-0,60
66	10:10	3,7	3,7	3,7	3,7	3,7	3,70	-0,58
67	10:12	3,7	3,7	3,7	3,7	3,7	3,70	-0,58
68	10:14	3,7	3,7	3,7	3,7	3,7	3,70	-0,58
69	10:16	3,7	3,7	3,7	3,7	3,7	3,70	-0,58
70	10:18	3,7	3,7	3,7	3,7	3,7	3,70	-0,58
71	10:20	3,7	3,7	3,7	3,7	3,7	3,70	-0,58
72	10:22	3,7	3,7	3,7	3,7	3,7	3,70	-0,58

Keterangan: “-” berarti tidak dilakukan perhitungan karena berada sebelum nilai dasar

Lanjutan Tabel 4.2 Nilai koreksi variasi harian pada data beda potensial sebagai fungsi waktu tanggal 22 April 2018

No.	Waktu	Potensial (mV)					Rerata	Variasi Harian
		1	2	3	4	5		
73	10:24	3,7	3,7	3,7	3,7	3,7	3,70	-0,58
74	10:26	3,8	3,7	3,7	3,7	3,7	3,72	-0,56
75	10:28	3,8	3,8	3,8	3,8	3,8	3,80	-0,48
76	10:30	3,8	3,8	3,8	3,8	3,8	3,80	-0,48
77	10:32	3,8	3,8	3,8	3,8	3,8	3,80	-0,48
78	10:34	3,8	3,8	3,8	3,8	3,8	3,80	-0,48
79	10:36	3,8	3,8	3,8	3,8	3,8	3,80	-0,48
80	10:38	3,9	3,9	3,9	3,9	3,9	3,90	-0,38
81	10:40	3,9	3,9	3,9	3,9	3,9	3,90	-0,38
82	10:42	3,9	3,9	3,9	3,9	3,9	3,90	-0,38
83	10:44	3,9	3,9	3,9	3,9	3,9	3,90	-0,38
84	10:46	3,9	3,9	3,9	3,9	3,9	3,90	-0,38
85	10:48	3,9	4,0	4,0	4,0	4,0	3,98	-0,30
86	10:50	4,0	4,0	4,0	4,0	4,0	4,00	-0,28
87	10:52	4,0	4,0	4,0	4,0	4,0	4,00	-0,28
88	10:54	3,9	3,9	3,9	3,9	3,9	3,90	-0,38
89	10:56	3,9	3,9	3,9	3,9	3,9	3,90	-0,38
90	10:58	3,9	3,9	3,9	3,9	3,9	3,90	-0,38
91	11:00	3,9	3,9	3,9	3,9	3,9	3,90	-0,38
92	11:02	3,9	3,9	3,9	3,9	3,9	3,90	-0,38
93	11:04	3,9	3,9	3,9	3,9	3,9	3,90	-0,38
94	11:06	3,9	3,9	3,9	3,9	3,9	3,90	-0,38
95	11:08	3,9	3,9	3,9	3,9	3,9	3,90	-0,38
96	11:10	3,9	3,9	3,9	3,9	3,9	3,90	-0,38
97	11:12	3,9	3,9	3,9	3,9	3,9	3,90	-0,38
98	11:14	3,9	3,8	3,9	3,8	3,8	3,84	-0,44
99	11:16	3,8	3,9	3,9	3,9	3,9	3,88	-0,40
100	11:18	3,9	3,9	3,9	3,9	3,9	3,90	-0,38
101	11:20	3,9	3,9	3,9	3,9	3,9	3,90	-0,38
102	11:22	3,9	3,8	3,8	3,9	3,9	3,86	-0,42
103	11:24	3,9	3,9	3,9	3,9	3,9	3,90	-0,38
104	11:26	3,8	3,9	3,9	3,9	3,9	3,88	-0,40
105	11:28	3,9	3,8	3,8	3,8	3,8	3,82	-0,46
106	11:30	3,8	3,8	3,8	3,9	3,9	3,84	-0,44
107	11:32	3,8	3,8	3,8	3,8	3,8	3,80	-0,48
108	11:34	3,8	3,9	3,9	3,9	3,9	3,88	-0,40
109	11:36	3,9	3,9	3,9	3,9	3,9	3,90	-0,38
110	11:38	3,9	3,9	3,9	3,9	3,9	3,90	-0,38
111	11:40	3,9	3,9	3,9	3,9	3,9	3,90	-0,38
112	11:42	3,9	3,9	3,9	3,9	3,9	3,90	-0,38
113	11:44	4,0	4,0	4,0	4,0	4,0	4,00	-0,28
114	11:46	4,0	4,0	4,0	4,0	4,0	4,00	-0,28
115	11:48	4,0	4,0	4,0	4,0	4,0	4,00	-0,28
116	11:50	4,1	4,1	4,1	4,1	4,1	4,10	-0,18
117	11:52	4,1	4,1	4,1	4,1	4,1	4,10	-0,18
118	11:54	4,1	4,1	4,1	4,1	4,1	4,10	-0,18

Lanjutan Tabel 4.2 Nilai koreksi variasi harian pada data beda potensial sebagai fungsi waktu tanggal 22 April 2018

No.	Waktu	Potensial (mV)					Rerata	Variasi Harian
		1	2	3	4	5		
119	11:56	4,2	4,2	4,2	4,2	4,2	4,20	-0,08
120	11:58	4,2	4,2	4,2	4,2	4,2	4,20	-0,08
121	12:00	4,2	4,2	4,2	4,2	4,2	4,20	-0,08

Tabel 4.3

Nilai koreksi variasi harian pada data beda potensial sebagai fungsi waktu tanggal 25 April 2018

No.	Waktu	Potensial (mV)					Rerata	Variasi Harian
		1	2	3	4	5		
1	8:30	0,7	0,7	0,7	0,7	0,6	0,68	-
2	8:32	0,6	0,6	0,6	0,1	0,3	0,44	-
3	8:34	0,4	0,5	0,5	0,5	0,5	0,48	-
4	8:36	0,4	0,5	0,5	0,4	0,4	0,44	-
5	8:38	0,4	0,4	0,4	0,4	0,4	0,40	-
6	8:40	0,4	0,4	0,4	0,4	0,4	0,40	-
7	8:42	0,3	0,3	0,3	0,3	0,3	0,30	-
8	8:44	0,3	0,3	0,3	0,3	0,3	0,30	-
9	8:46	0,2	0,2	0,2	0,2	0,2	0,20	-
10	8:48	0,1	0,1	0,1	0,1	0,0	0,08	-
11	8:50	0,0	0,0	0,0	0,0	0,0	0,00	-
12	8:52	0,0	0,0	0,0	0,0	0,0	0,00	-
13	8:54	0,1	0,1	0,2	0,2	0,2	0,16	-
14	8:56	0,4	0,4	0,4	0,5	0,5	0,44	-
15	8:58	0,5	0,5	0,5	0,5	0,5	0,50	-
16	9:00	0,5	0,5	0,5	0,5	0,6	0,52	-
17	9:02	0,6	0,6	0,6	0,6	0,6	0,60	-
18	9:04	0,6	0,7	0,7	0,7	0,7	0,68	-
19	9:06	0,8	0,8	0,8	0,8	0,8	0,80	0,00
20	9:08	0,9	0,9	0,9	0,9	0,9	0,90	0,10
21	9:10	1,0	1,0	1,0	1,0	1,0	1,00	0,20
22	9:12	1,0	1,0	1,0	1,0	1,0	1,00	0,20
23	9:14	1,0	1,0	1,0	1,0	0,9	0,98	0,18
24	9:16	0,9	0,9	0,9	0,9	0,9	0,90	0,10
25	9:18	1,0	1,0	1,0	1,0	1,0	1,00	0,20
26	9:20	1,1	1,1	1,1	1,1	1,1	1,10	0,30
27	9:22	1,3	1,3	1,3	1,3	1,4	1,32	0,52
28	9:24	1,3	1,3	1,3	1,3	1,3	1,30	0,50
29	9:26	1,4	1,4	1,4	1,4	1,4	1,40	0,60
30	9:28	1,5	1,5	1,5	1,5	1,5	1,50	0,70
31	9:30	1,6	1,6	1,6	1,6	1,6	1,60	0,80
32	9:32	1,7	1,7	1,7	1,7	1,7	1,70	0,90
33	9:34	1,9	1,9	1,9	1,9	1,9	1,90	1,10
34	9:36	2,0	2,0	2,0	2,0	2,1	2,02	1,22
35	9:38	2,2	2,2	2,2	2,2	2,2	2,20	1,40
36	9:40	2,4	2,4	2,4	2,4	2,4	2,40	1,60
37	9:42	2,6	2,6	2,6	2,6	2,6	2,60	1,80

Keterangan: “-” berarti tidak dilakukan perhitungan karena berada sebelum nilai dasar

Lanjutan Tabel 4.3 Nilai koreksi variasi harian pada data beda potensial sebagai fungsi waktu tanggal 25 April 2018

No.	Waktu	Potensial (mV)					Rerata	Variasi Harian
		1	2	3	4	5		
38	9:44	2,8	2,8	2,8	2,8	2,8	2,80	2,00
39	9:46	2,9	2,9	2,9	2,9	2,9	2,90	2,10
40	9:48	3,0	3,0	3,0	3,0	3,0	3,00	2,20
41	9:50	3,0	3,0	3,1	3,0	3,0	3,02	2,22
42	9:52	3,0	3,0	3,0	3,0	3,0	3,00	2,20
43	9:54	2,9	2,9	2,9	2,9	2,9	2,90	2,10
44	9:56	2,7	2,7	2,7	2,7	2,7	2,70	1,90
45	9:58	2,5	2,5	2,5	2,5	2,5	2,50	1,70
46	10:00	2,5	2,5	2,5	2,5	2,5	2,50	1,70
47	10:02	2,4	2,4	2,4	2,4	2,4	2,40	1,60
48	10:04	2,3	2,3	2,3	2,3	2,3	2,30	1,50
49	10:06	2,3	2,3	2,3	2,3	2,3	2,30	1,50
50	10:08	2,2	2,2	2,2	2,2	2,2	2,20	1,40
51	10:10	2,2	2,2	2,2	2,2	2,2	2,20	1,40
52	10:12	2,2	2,2	2,2	2,2	2,2	2,20	1,40
53	10:14	2,2	2,2	2,2	2,2	2,2	2,20	1,40
54	10:16	2,2	2,2	2,2	2,2	2,2	2,20	1,40
55	10:18	2,2	2,2	2,2	2,2	2,2	2,20	1,40
56	10:20	2,3	2,3	2,3	2,3	2,2	2,28	1,48
57	10:22	2,2	2,2	2,2	2,2	2,2	2,20	1,40
58	10:24	2,2	2,2	2,2	2,2	2,2	2,20	1,40
59	10:26	2,2	2,2	2,2	2,2	2,2	2,20	1,40
60	10:28	2,2	2,2	2,2	2,2	2,2	2,20	1,40
61	10:30	2,1	2,1	2,1	2,1	2,1	2,10	1,30
62	10:32	2,1	2,1	2,1	2,1	2,1	2,10	1,30
63	10:34	2,1	2,1	2,1	2,0	2,0	2,06	1,26
64	10:36	2,0	2,0	2,0	2,0	2,0	2,00	1,20
65	10:38	1,9	1,9	1,9	1,9	1,9	1,90	1,10
66	10:40	1,9	1,9	1,9	1,9	1,9	1,90	1,10
67	10:42	1,8	1,8	1,8	1,8	1,8	1,80	1,00
68	10:44	1,8	1,8	1,8	1,8	1,8	1,80	1,00
69	10:46	1,8	1,8	1,8	1,8	1,8	1,80	1,00
70	10:48	1,7	1,7	1,7	1,7	1,7	1,70	0,90
71	10:50	1,7	1,7	1,7	1,7	1,7	1,70	0,90
72	10:52	1,7	1,7	1,7	1,7	1,7	1,70	0,90
73	10:54	1,6	1,6	1,6	1,6	1,6	1,60	0,80
74	10:56	1,6	1,5	1,6	1,6	1,6	1,58	0,78
75	10:58	1,5	1,5	1,5	1,5	1,5	1,50	0,70
76	11:00	1,5	1,5	1,5	1,5	1,5	1,50	0,70
77	11:02	1,5	1,5	1,5	1,4	1,5	1,48	0,68
78	11:04	1,4	1,4	1,4	1,4	1,4	1,40	0,60
79	11:06	1,4	1,4	1,4	1,4	1,4	1,40	0,60
80	11:08	1,4	1,4	1,4	1,4	1,4	1,40	0,60
81	11:10	1,4	1,4	1,4	1,4	1,4	1,40	0,60
82	11:12	1,4	1,3	1,4	1,4	1,3	1,36	0,56
83	11:14	1,3	1,3	1,3	1,3	1,3	1,30	0,50

Lanjutan Tabel 4.3 Nilai koreksi variasi harian pada data beda potensial sebagai fungsi waktu tanggal 25 April 2018

No.	Waktu	Potensial (mV)					Rerata	Variasi Harian
		1	2	3	4	5		
84	11:16	1,3	1,3	1,3	1,3	1,3	1,30	0,50
85	11:18	1,3	1,3	1,3	1,3	1,3	1,30	0,50
86	11:20	1,2	1,2	1,2	1,2	1,2	1,20	0,40
87	11:22	1,1	1,1	1,1	1,1	1,1	1,10	0,30
88	11:24	1,1	1,1	1,1	1,1	1,1	1,10	0,30
89	11:26	1,0	1,0	1,1	1,1	1,0	1,04	0,24
90	11:28	1,0	1,0	1,0	1,0	1,0	1,00	0,20
91	11:30	1,0	1,0	0,9	0,9	0,9	0,94	0,14
92	11:32	0,9	0,9	0,9	0,9	0,9	0,90	0,10
93	11:34	0,9	0,9	0,9	0,9	0,9	0,90	0,10
94	11:36	0,9	0,9	0,9	0,9	0,9	0,90	0,10
95	11:38	0,8	0,8	0,8	0,8	0,8	0,80	0,00
96	11:40	0,8	0,8	0,8	0,8	0,8	0,80	0,00
97	11:42	0,9	0,9	0,9	0,9	0,8	0,88	0,08
98	11:44	0,8	0,8	0,8	0,8	0,8	0,80	0,00
99	11:46	0,8	0,8	0,8	0,8	0,8	0,80	0,00
100	11:48	0,7	0,7	0,7	0,7	0,7	0,70	-0,10
101	11:50	0,7	0,7	0,7	0,7	0,7	0,70	-0,10
102	11:52	-	-	-	-	-	-	-
103	11:54	-	-	-	-	-	-	-
104	11:56	-	-	-	-	-	-	-
105	11:58	-	-	-	-	-	-	-
106	12:00	-	-	-	-	-	-	-
107	12:02	-	-	-	-	-	-	-
108	12:04	-	-	-	-	-	-	-
109	12:06	-	-	-	-	-	-	-
110	12:08	-	-	-	-	-	-	-
111	12:10	-	-	-	-	-	-	-
112	12:12	-	-	-	-	-	-	-
113	12:14	-	-	-	-	-	-	-
114	12:16	-	-	-	-	-	-	-
115	12:18	-	-	-	-	-	-	-
116	12:20	-	-	-	-	-	-	-
117	12:22	-	-	-	-	-	-	-
118	12:24	-	-	-	-	-	-	-
119	12:26	-	-	-	-	-	-	-
120	12:28	-	-	-	-	-	-	-
121	12:30	-	-	-	-	-	-	-
122	12:32	-	-	-	-	-	-	-
123	12:34	-	-	-	-	-	-	-
124	12:36	-	-	-	-	-	-	-
125	12:38	-	-	-	-	-	-	-
126	12:40	-	-	-	-	-	-	-
127	12:42	-	-	-	-	-	-	-
128	12:44	-	-	-	-	-	-	-
129	12:46	-	-	-	-	-	-	-

Keterangan: “-” berarti istirahat

Lanjutan Tabel 4.3 Nilai koreksi variasi harian pada data beda potensial sebagai fungsi waktu tanggal 25 April 2018

No.	Waktu	Potensial (mV)					Rerata	Variasi Harian
		1	2	3	4	5		
130	12:48	-	-	-	-	-	-	-
131	12:50	-	-	-	-	-	-	-
132	12:52	-	-	-	-	-	-	-
133	12:54	-	-	-	-	-	-	-
134	12:56	-	-	-	-	-	-	-
135	12:58	-	-	-	-	-	-	-
136	13:00	-	-	-	-	-	-	-
137	13:02	-	-	-	-	-	-	-
138	13:04	-	-	-	-	-	-	-
139	13:06	-	-	-	-	-	-	-
140	13:08	-	-	-	-	-	-	-
141	13:10	-	-	-	-	-	-	-
142	13:12	-	-	-	-	-	-	-
143	13:14	-	-	-	-	-	-	-
144	13:16	-	-	-	-	-	-	-
145	13:18	-	-	-	-	-	-	-
146	13:20	-0,9	-0,9	-0,9	-0,9	-0,9	-0,90	-1,70
147	13:22	-0,9	-0,9	-0,9	-0,9	-0,9	-0,90	-1,70
148	13:24	-0,9	-0,9	-0,9	-0,9	-0,9	-0,90	-1,70
149	13:26	-0,8	-0,8	-0,8	-0,8	-0,8	-0,80	-1,60
150	13:28	-0,8	-0,8	-0,8	-0,8	-0,8	-0,80	-1,60
151	13:30	-0,8	-0,7	-0,7	-0,7	-0,7	-0,72	-1,52
152	13:32	-0,7	-0,7	-0,7	-0,7	-0,7	-0,70	-1,50
153	13:34	-0,7	-0,7	-0,7	-0,7	-0,7	-0,70	-1,50
154	13:36	-0,7	-0,7	-0,7	-0,7	-0,7	-0,70	-1,50
155	13:38	-0,7	-0,7	-0,7	-0,7	-0,7	-0,70	-1,50
156	13:40	-0,7	-0,7	-0,7	-0,7	-0,7	-0,70	-1,50
157	13:42	-0,7	-0,7	-0,7	-0,7	-0,7	-0,70	-1,50
158	13:44	-0,7	-0,7	-0,7	-0,7	-0,7	-0,70	-1,50
159	13:46	-0,7	-0,7	-0,7	-0,6	-0,6	-0,66	-1,46
160	13:48	-0,6	-0,6	-0,6	-0,6	-0,6	-0,60	-1,40
161	13:50	-0,6	-0,6	-0,6	-0,6	-0,6	-0,60	-1,40
162	13:52	-0,6	-0,6	-0,6	-0,6	-0,6	-0,60	-1,40
163	13:54	-0,6	-0,6	-0,6	-0,6	-0,6	-0,60	-1,40
164	13:56	-0,5	-0,5	-0,5	-0,5	-0,5	-0,50	-1,30
165	13:58	-0,5	-0,5	-0,5	-0,5	-0,5	-0,50	-1,30
166	14:00	-0,5	-0,5	-0,5	-0,5	-0,5	-0,50	-1,30
167	14:02	-0,5	-0,5	-0,5	-0,5	-0,5	-0,50	-1,30
168	14:04	-0,5	-0,5	-0,5	-0,5	-0,5	-0,50	-1,30
169	14:06	-0,5	-0,5	-0,5	-0,5	-0,5	-0,50	-1,30
170	14:08	-0,5	-0,5	-0,5	-0,5	-0,5	-0,50	-1,30
171	14:10	-0,5	-0,5	-0,4	-0,4	-0,4	-0,44	-1,24
172	14:12	-0,3	-0,3	-0,3	-0,2	-0,2	-0,26	-1,06

Keterangan: “-” berarti istirahat

(2) Perhitungan data beda potensial sebagai fungsi posisi

Pada perhitungan data beda potensial sebagai fungsi posisi juga menggunakan nilai koreksi variasi harian pada pengolahan data beda potensial sebagai fungsi waktu. Hasil pengolahan data beda potensial sebagai fungsi posisi ditunjukkan dalam **Tabel 4.4** sampai dengan **Tabel 4.8**.



Tabel 4.4

Nilai beda potensial terkoreksi dari data beda potensial sebagai fungsi posisi pada lintasan 1 tanggal 21 April 2018

No. Titik	Waktu	Koordinat Titik		Potensial (mV)					Rerata (mV)	Variasi Harian (mV)	Terkoreksi Harian (mV)	Terkoreksi Referensi (mV)
		BT	LS	1	2	3	4	5				
1	9:30	111° 53' 56,2"	8° 00' 37,1"	0,7	0,9	1,0	1,1	1,1	0,96	0,00	0,96	0,96
2	9:34	111° 53' 56,3"	8° 00' 36,9"	-1,1	-1,2	-1,2	-1,2	-1,2	-1,18	0,10	-1,28	-1,28
3	9:40	111° 53' 56,4"	8° 00' 36,7"	2,0	2,0	1,9	1,9	1,9	1,94	0,20	1,74	1,74
4	9:42	111° 53' 56,5"	8° 00' 36,5"	-1,2	-1,2	-1,2	-1,2	-1,3	-1,22	0,20	-1,42	-1,42
5	9:45	111° 53' 56,6"	8° 00' 36,2"	-2,1	-1,9	-2,7	-2,5	-2,2	-2,28	0,20	-2,48	-2,48
6	9:49	111° 53' 56,7"	8° 00' 35,9"	2,3	2,3	2,3	2,2	2,2	2,26	0,20	2,06	2,06
7	9:53	111° 53' 56,8"	8° 00' 35,8"	0,7	0,8	0,8	0,8	0,8	0,78	0,32	0,46	0,46
8	9:56	111° 53' 56,9"	8° 00' 35,4"	2,2	2,2	2,2	2,2	2,1	2,18	0,48	1,70	1,70
9	9:58	111° 53' 57,0"	8° 00' 35,2"	1,3	1,3	1,3	1,2	1,2	1,26	0,58	0,68	0,68
10	10:02	111° 53' 57,1"	8° 00' 35,0"	0,1	0,0	0,0	0,0	0,0	0,02	0,60	-0,58	-0,58
11	10:05	111° 53' 57,2"	8° 00' 34,7"	-1,1	-1,2	-1,3	-1,3	-1,3	-1,24	0,70	-1,94	-1,94
12	10:08	111° 53' 57,3"	8° 00' 34,5"	0,4	0,3	0,4	0,3	0,3	0,34	0,80	-0,46	-0,46
13	10:14	111° 53' 57,4"	8° 00' 34,3"	0,8	0,7	0,7	0,7	0,7	0,72	1,00	-0,28	-0,28
14	10:20	111° 53' 57,5"	8° 00' 34,1"	0,8	0,8	0,7	0,7	0,7	0,74	1,18	-0,44	-0,44
15	10:23	111° 53' 57,6"	8° 00' 33,8"	-0,2	-0,2	-0,3	-0,3	-0,3	-0,26	1,20	-1,46	-1,46
16	10:26	111° 53' 57,7"	8° 00' 33,6"	-0,4	-0,6	-0,5	-0,5	-0,5	-0,50	1,30	-1,80	-1,80
17	10:31	111° 53' 57,8"	8° 00' 33,4"	0,4	0,5	0,5	0,3	0,4	0,42	1,30	-0,88	-0,88
18	10:34	111° 53' 57,9"	8° 00' 33,1"	2,8	2,7	2,7	2,6	2,6	2,68	1,30	1,38	1,38
19	10:37	111° 53' 58,0"	8° 00' 32,9"	1,5	1,5	1,5	1,4	1,3	1,44	1,40	0,04	0,04
20	10:40	111° 53' 58,1"	8° 00' 32,6"	-0,4	-0,3	-0,4	-0,4	-0,2	-0,34	1,40	-1,74	-1,74
21	10:43	111° 53' 58,3"	8° 00' 32,4"	1,5	1,5	1,4	1,4	1,3	1,42	1,40	0,02	0,02
22	10:46	111° 53' 58,4"	8° 00' 32,1"	1,7	2,0	1,9	1,6	2,3	1,90	1,40	0,50	0,50
23	10:49	111° 53' 58,4"	8° 00' 31,9"	2,2	2,1	2,1	2,1	2,0	2,10	1,42	0,68	0,68
24	10:53	111° 53' 58,5"	8° 00' 31,8"	0,3	0,4	0,5	0,5	0,5	0,44	1,50	-1,06	-1,06

Lanjutan Tabel 4.4 Nilai beda potensial terkoreksi dari data beda potensial sebagai fungsi posisi pada lintasan 1 tanggal 21 April 2018

No. Titik	Waktu	Koordinat Titik		Potensial (mV)					Rerata (mV)	Variasi Harian (mV)	Terkoreksi Harian (mV)	Terkoreksi Referensi (mV)
		BT	LS	1	2	3	4	5				
25	11:01	111° 53' 58,6"	8° 00' 31,5"	-0,2	-0,2	-0,4	-0,4	-0,3	-0,30	1,54	-1,84	-1,84
26	-	111° 53' 58,7"	8° 00' 31,2"	-	-	-	-	-	-	-	-	-
27	-	111° 53' 58,9"	8° 00' 31,0"	-	-	-	-	-	-	-	-	-
28	11:32	111° 53' 58,9"	8° 00' 30,7"	3,5	3,5	3,6	3,7	3,7	3,60	1,86	1,74	-0,10
29	11:35	111° 53' 59,1"	8° 00' 30,4"	2,7	2,6	2,5	2,4	2,2	2,48	1,40	1,08	-0,76
30	11:38	111° 53' 59,1"	8° 00' 30,3"	1,2	1,1	1,1	1,1	1,0	1,10	1,40	-0,30	-2,14
31	11:41	111° 53' 59,2"	8° 00' 29,9"	0,9	0,9	0,9	0,9	0,9	0,90	1,38	-0,48	-2,32
32	11:43	111° 53' 59,2"	8° 00' 29,7"	2,0	1,9	1,8	1,8	1,8	1,86	1,50	0,36	-1,48
33	11:45	111° 53' 59,3"	8° 00' 29,5"	1,6	1,6	1,5	1,5	1,5	1,54	1,60	-0,06	-1,90
34	11:47	111° 53' 59,3"	8° 00' 29,3"	0,4	0,6	0,4	0,5	0,3	0,44	1,40	-0,96	-2,80
35	11:49	111° 53' 59,6"	8° 00' 29,1"	1,6	1,5	1,5	1,5	1,5	1,52	1,38	0,14	-1,70
36	11:51	111° 53' 59,8"	8° 00' 28,8"	1,7	1,7	1,7	1,6	1,6	1,66	1,40	0,26	-1,58
37	11:53	111° 53' 59,8"	8° 00' 28,6"	2,5	2,5	2,5	2,5	2,5	2,50	1,40	1,10	-0,74
38	11:56	111° 53' 59,9"	8° 00' 28,4"	3,2	3,1	3,1	3,0	3,0	3,08	1,34	1,74	-0,10
39	11:58	111° 54' 00,1"	8° 00' 28,1"	3,3	3,2	2,9	2,9	2,9	3,04	1,24	1,80	-0,04

Keterangan: “-” berarti tidak dilakukan pengukuran nilai beda potensial di titik tersebut karena terjadi perpindahan pot berpori yang ditanam secara tetap yang diikuti oleh seluruh rangkaian ke titik akhir pengukuran pot berpori yang bergerak sebelumnya.

Proses perhitungan dari tabel di atas dapat diberikan contoh perhitungan sebagai berikut:

1. Menghitung nilai rerata dari data nilai beda potensial per waktu.

Contoh perhitungan:

Pada pukul 09:30 WIB

$$\text{Rerata} = \frac{(0,7)+(0,9)+(1,0)+(1,1)+(1,1)}{5} = 0,96 \text{ mV}$$

2. Memasukkan nilai variasi harian yang telah dihitung pada perhitungan nilai beda potensial sebagai fungsi waktu dengan mencocokkan waktu pada pengukuran beda potensial sebagai fungsi posisi.

Pukul 09:30 WIB

Variasi harian = 0 mV

Pukul 11:20 WIB

Variasi harian = 1,18 mV

Pukul 11:58 WIB

Variasi harian = 1,24 mV

3. Terkoreksi variasi harian

Pukul 09:30 WIB

$$\begin{aligned} \text{Terkoreksi variasi harian} &= \Delta V_{\text{terukur}} - \Delta V_{\text{variasi harian}} \\ &= 0,96 - 0,00 \\ &= 0,96 \text{ mV} \end{aligned}$$

Pukul 11:20 WIB

$$\begin{aligned} \text{Terkoreksi variasi harian} &= \Delta V_{\text{terukur}} - \Delta V_{\text{variasi harian}} \\ &= 0,74 - 1,18 \\ &= -0,44 \text{ mV} \end{aligned}$$

Pukul 11:58 WIB

$$\begin{aligned} \text{Terkoreksi variasi harian} &= \Delta V_{\text{terukur}} - \Delta V_{\text{variasi harian}} \\ &= 3,04 - 1,24 \\ &= 1,80 \text{ mV} \end{aligned}$$

4. Apabila nilai terkoreksi variasi harian merupakan data dari perpindahan pot berpori yang ditanam secara tetap yang diikuti oleh seluruh rangkaian ke titik akhir pengukuran pot berpori yang bergerak sebelumnya, maka semua nilainya ditambahkan dengan nilai terkoreksi variasi harian di titik pengukuran terakhir sebelum perpindahan pot berpori yang ditanam secara tetap yang diikuti oleh seluruh rangkaian.

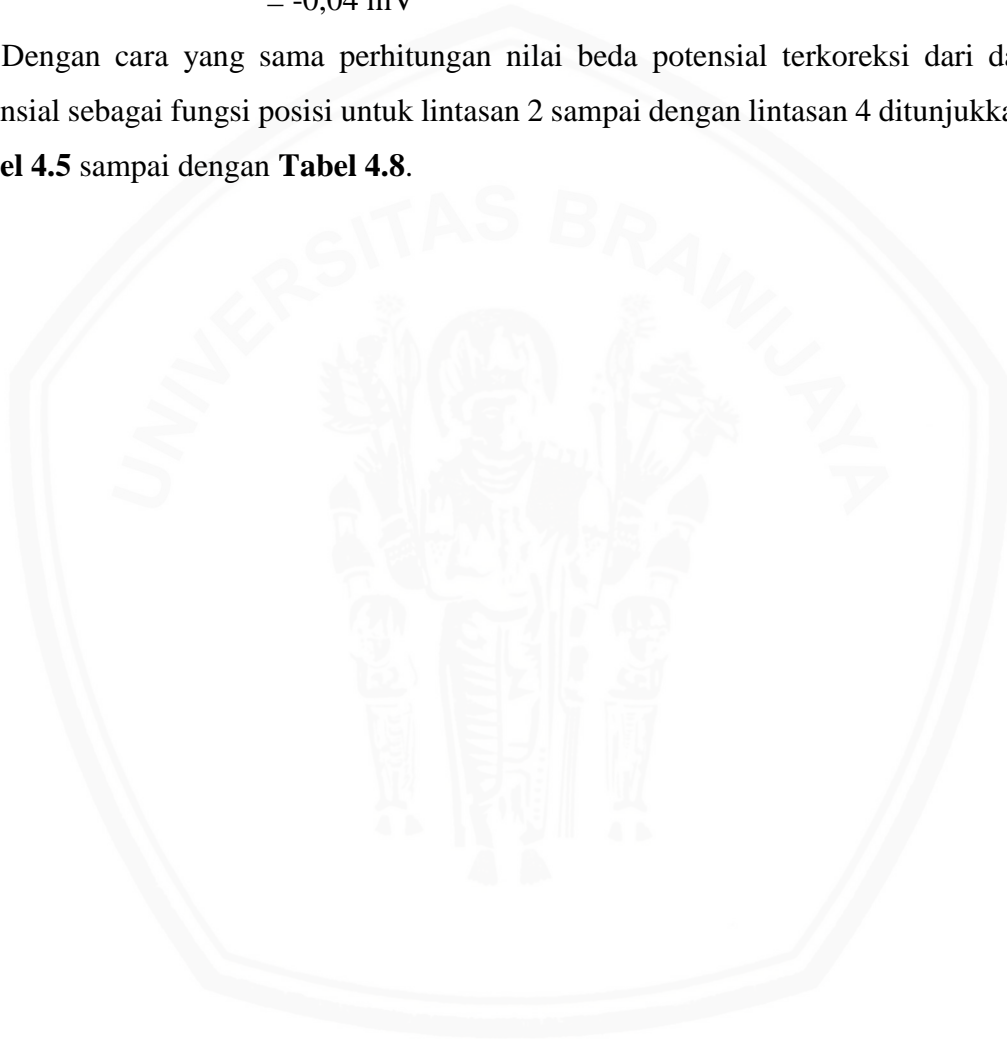
Pukul 11:32 WIB

$$\begin{aligned}\text{Terkoreksi referensi} &= \Delta V_{\text{terkoreksi variasi harian di titik terakhir sebelum berpindah}} + \Delta V_{\text{terkoreksi variasi harian}} \\ &= (-1,84) + (1,74) \\ &= -0,10 \text{ mV}\end{aligned}$$

Pukul 11:58 WIB

$$\begin{aligned}\text{Terkoreksi referensi} &= \Delta V_{\text{terkoreksi variasi harian di titik terakhir sebelum berpindah}} + \Delta V_{\text{terkoreksi variasi harian}} \\ &= (-1,84) + (1,80) \\ &= -0,04 \text{ mV}\end{aligned}$$

Dengan cara yang sama perhitungan nilai beda potensial terkoreksi dari data beda potensial sebagai fungsi posisi untuk lintasan 2 sampai dengan lintasan 4 ditunjukkan dalam **Tabel 4.5** sampai dengan **Tabel 4.8**.



Tabel 4.5

Nilai beda potensial terkoreksi dari data beda potensial sebagai fungsi posisi pada lintasan 2 tanggal 21 April 2018

No. Titik	Waktu	Koordinat Titik		Potensial (mV)					Rerata (mV)	Variasi Harian (mV)	Terkoreksi Harian (mV)	Terkoreksi Referensi (mV)
		BT	LS	1	2	3	4	5				
1	13:47	111° 53' 59,9"	8° 00' 28,0"	-3,4	-3,4	-3,4	-1,4	-2,1	-2,74	1,26	-4,00	-4,00
2	13:50	111° 53' 59,7"	8° 00' 27,9"	-3,5	-3,5	-3,6	-3,5	-3,4	-3,50	1,32	-4,82	-4,82
3	13:52	111° 53' 59,5"	8° 00' 27,8"	0,1	0,1	0,0	0,0	0,1	0,06	1,40	-1,34	-1,34
4	13:54	111° 53' 59,2"	8° 00' 27,6"	-2,5	-2,7	-2,6	-2,8	-2,7	-2,66	1,40	-4,06	-4,06
5	13:57	111° 53' 58,9"	8° 00' 27,6"	-3,4	-3,6	-3,6	-3,7	-3,7	-3,60	1,40	-5,00	-5,00
6	13:59	111° 53' 58,8"	8° 00' 27,4"	-4,8	-4,9	-5,0	-5,0	-5,1	-4,96	1,40	-6,36	-6,36
7	14:01	111° 53' 58,5"	8° 00' 27,3"	-1,2	-1,2	-1,3	-1,3	-1,4	-1,28	1,40	-2,68	-2,68
8	14:03	111° 53' 58,3"	8° 00' 27,2"	-0,1	0,0	-0,1	-0,1	-0,1	-0,08	1,40	-1,48	-1,48
9	14:05	111° 53' 58,1"	8° 00' 27,4"	5,2	5,0	5,1	5,0	4,9	5,04	1,30	3,74	3,74
10	14:07	111° 53' 58,0"	8° 00' 27,3"	4,2	4,1	4,1	4,1	4,0	4,10	1,30	2,80	2,80
11	14:10	111° 53' 57,6"	8° 00' 27,2"	5,5	5,4	5,3	5,4	5,3	5,38	1,32	4,06	4,06
12	14:12	111° 53' 57,5"	8° 00' 27,1"	7,6	7,5	7,5	7,5	7,4	7,50	1,40	6,10	6,10
13	14:15	111° 53' 57,2"	8° 00' 27,0"	4,0	4,0	3,9	3,9	3,9	3,94	1,48	2,46	2,46
14	14:21	111° 53' 57,1"	8° 00' 26,9"	7,2	7,3	7,2	7,1	7,1	7,18	1,60	5,58	5,58
15	14:23	111° 53' 56,8"	8° 00' 26,8"	5,3	5,4	5,3	5,2	5,2	5,28	1,60	3,68	3,68
16	14:25	111° 53' 56,6"	8° 00' 26,6"	1,4	1,3	1,3	1,3	1,2	1,30	1,56	-0,26	-0,26
17	14:28	111° 53' 56,3"	8° 00' 26,4"	2,5	2,4	2,5	2,3	2,3	2,40	1,40	1,00	1,00
18	14:30	111° 53' 56,1"	8° 00' 26,3"	0,8	0,7	0,7	0,6	0,6	0,68	1,50	-0,82	-0,82
19	14:35	111° 53' 55,9"	8° 00' 26,2"	0,5	0,5	0,6	0,6	0,6	0,56	1,70	-1,14	-1,14
20	14:37	111° 53' 55,7"	8° 00' 26,0"	2,6	2,5	2,5	2,5	2,4	2,50	1,60	0,90	0,90
21	14:43	111° 53' 55,5"	8° 00' 25,9"	0,5	0,5	0,5	0,4	0,5	0,48	1,30	-0,82	-0,82
22	14:49	111° 53' 55,3"	8° 00' 25,7"	1,6	1,5	1,4	1,5	1,4	1,48	1,00	0,48	0,48
23	14:52	111° 53' 55,0"	8° 00' 25,6"	-1,0	-0,9	-1,1	1,0	-1,0	-0,60	0,58	-1,18	-1,18
24	14:59	111° 53' 54,8"	8° 00' 25,5"	4,5	4,4	4,5	4,5	4,6	4,50	0,52	3,98	3,98

Lanjutan Tabel 4.5 Nilai beda potensial terkoreksi dari data beda potensial sebagai fungsi posisi pada lintasan 2 tanggal 21 April 2018

No. Titik	Waktu	Koordinat Titik		Potensial (mV)					Rerata (mV)	Variasi Harian (mV)	Terkoreksi Harian (mV)	Terkoreksi Referensi (mV)
		BT	LS	1	2	3	4	5				
25	15:02	111° 53' 54,6"	8° 00' 25,4"	2,7	2,8	2,7	2,8	2,8	2,76	0,50	2,26	2,26
26	-	111° 53' 54,4"	8° 00' 25,3"	-	-	-	-	-	-	-	-	-
27	-	111° 53' 54,2 "	8° 00' 25,0"	-	-	-	-	-	-	-	-	-
28	15:34	111° 53' 53,9"	8° 00' 24,9"	1,8	1,8	2,0	1,9	1,8	1,86	0,60	1,26	3,52
29	15:37	111° 53' 53,7"	8° 00' 24,7"	3,1	3,0	2,9	2,9	2,9	2,96	0,50	2,46	4,72
30	15:39	111° 53' 53,5"	8° 00' 24,6"	1,1	1,0	1,0	1,0	1,0	1,02	0,68	0,34	2,60
31	15:41	111° 53' 53,3"	8° 00' 24,5"	3,0	2,8	2,8	2,8	2,8	2,84	0,54	2,30	4,56
32	15:44	111° 53' 53,1"	8° 00' 24,3"	2,8	2,8	2,8	2,8	2,7	2,78	0,76	2,02	4,28
33	15:47	111° 53' 52,8"	8° 00' 24,2"	0,0	0,2	0,4	0,4	0,5	0,30	0,66	-0,36	1,90
34	15:49	111° 53' 52,6"	8° 00' 24,1"	1,4	1,4	1,4	1,4	1,4	1,40	0,50	0,90	3,16
35	15:51	111° 53' 52,3"	8° 00' 24,0"	0,9	0,8	0,7	0,7	0,8	0,78	0,40	0,38	2,64
36	15:54	111° 53' 52,2"	8° 00' 23,8"	0,3	0,3	0,4	0,4	0,3	0,34	0,50	-0,16	2,10
37	15:57	111° 53' 51,9"	8° 00' 23,7"	-0,2	-0,2	-0,1	-0,2	-0,3	-0,20	0,60	-0,80	1,46
38	16:00	111° 53' 51,7"	8° 00' 23,5"	1,2	1,8	1,3	1,3	1,2	1,36	0,50	0,86	3,12
39	16:02	111° 53' 51,5"	8° 00' 23,4"	0,1	0,3	0,2	0,1	0,1	0,16	0,60	-0,44	1,82
40	16:05	111° 53' 51,3"	8° 00' 23,2"	-2,2	-2,3	-2,3	-2,3	-2,3	-2,28	0,56	-2,84	-0,58
41	16:09	111° 53' 51,0"	8° 00' 23,1"	-1,5	-1,2	-1,3	-1,4	-1,5	-1,38	0,78	-2,16	0,10
42	16:12	111° 53' 50,8"	8° 00' 22,9"	-1,3	-1,5	-1,5	-1,5	-1,5	-1,46	1,00	-2,46	-0,20
43	16:15	111° 53' 50,6"	8° 00' 22,8"	-1,9	-1,9	-1,9	-2,0	-2,1	-1,96	1,00	-2,96	-0,70
44	16:18	111° 53' 50,4"	8° 00' 22,7"	-1,3	-1,3	-1,2	-0,9	1,1	-0,72	1,00	-1,72	0,54
45	16:21	111° 53' 50,1"	8° 00' 22,5"	-1,5	-1,6	-1,5	-1,6	-1,7	-1,58	1,00	-2,58	-0,32
46	16:24	111° 53' 49,9"	8° 00' 22,4"	-1,8	-1,7	-1,5	-1,6	-1,8	-1,68	1,00	-2,68	-0,42
47	16:26	111° 53' 49,7"	8° 00' 22,3"	-1,8	-1,8	-1,9	-1,9	-2,0	-1,88	1,00	-2,88	-0,62

Keterangan: “-” berarti tidak dilakukan pengukuran nilai beda potensial di titik tersebut karena terjadi perpindahan pot berpori yang ditanam secara tetap yang diikuti oleh seluruh rangkaian ke titik akhir pengukuran pot berpori yang bergerak sebelumnya.

Lanjutan Tabel 4.5 Nilai beda potensial terkoreksi dari data beda potensial sebagai fungsi posisi pada lintasan 2 tanggal 21 April 2018

No. Titik	Waktu	Koordinat Titik		Potensial (mV)					Rerata (mV)	Variasi Harian (mV)	Terkoreksi Harian (mV)	Terkoreksi Referensi (mV)
		BT	LS	1	2	3	4	5				
48	16:29	111° 53' 49,5"	8° 00' 22,1"	-3,4	-3,5	-3,4	-3,4	-3,4	-3,42	0,92	-4,34	-2,08
49	16:32	111° 53' 49,3"	8° 00' 22,0"	-2,6	-2,5	-2,6	-2,6	-2,6	-2,58	0,80	-3,38	-1,12
50	16:35	111° 53' 49,0"	8° 00' 21,8"	-1,9	-2,0	-2,0	-2,0	-2,1	-2,00	0,84	-2,84	-0,58
51	16:38	111° 53' 48,8"	8° 00' 21,7"	-2,2	-2,1	-2,1	-2,1	-2,2	-2,14	0,90	-3,04	-0,78
52	-	111° 53' 48,6"	8° 00' 21,6"	-	-	-	-	-	-	-	-	-
53	-	111° 53' 48,4"	8° 00' 21,4"	-	-	-	-	-	-	-	-	-
54	17:04	111° 53' 48,2"	8° 00' 21,3"	0,6	0,6	0,6	0,7	0,7	0,64	0,86	-0,22	-1,00
55	17:06	111° 53' 47,9"	8° 00' 21,1"	-1,1	-1,1	-1,1	-1,2	-1,2	-1,14	0,90	-2,04	-2,82
56	17:09	111° 53' 47,7"	8° 00' 21,0"	-0,5	-0,5	-0,5	-0,5	-0,5	-0,50	1,00	-1,50	-2,28
57	17:12	111° 53' 47,5"	8° 00' 20,8"	0,1	0,2	0,2	0,3	0,3	0,22	1,00	-0,78	-1,56
58	17:15	111° 53' 47,4"	8° 00' 20,7"	-0,7	-0,9	-0,8	-0,9	-1,0	-0,86	1,00	-1,86	-2,64

Keterangan: “-” berarti tidak dilakukan pengukuran nilai beda potensial di titik tersebut karena terjadi perpindahan pot berpori yang ditanam secara tetap yang diikuti oleh seluruh rangkaian ke titik akhir pengukuran pot berpori yang bergerak sebelumnya.

Tabel 4.6

Nilai beda potensial terkoreksi dari data beda potensial sebagai fungsi posisi pada lintasan 3(a) tanggal 22 April 2018

No. Titik	Waktu	Koordinat Titik		Potensial (mV)					Rerata (mV)	Variasi Harian (mV)	Terkoreksi Harian (mV)	Terkoreksi Referensi (mV)
		BT	LS	1	2	3	4	5				
1	9:09	111° 53' 55,9"	8° 00' 37,5"	8,3	8,3	8,3	8,3	8,3	8,30	0,00	8,30	8,30
2	9:11	111° 53' 55,7"	8° 00' 37,7"	2,0	2,0	1,9	2,0	2,0	1,98	-0,08	2,06	2,06
3	9:14	111° 53' 55,6"	8° 00' 37,5"	0,7	0,7	0,7	0,7	0,7	0,70	-0,18	0,88	0,88
4	9:16	111° 53' 55,3"	8° 00' 37,4"	0,8	0,8	0,8	0,8	0,7	0,78	-0,18	0,96	0,96
5	9:18	111° 53' 55,0"	8° 00' 37,3"	3,5	3,4	3,4	3,3	3,3	3,38	-0,28	3,66	3,66
6	9:20	111° 53' 54,9"	8° 00' 37,2"	0,0	0,0	0,0	0,1	0,0	0,02	-0,38	0,40	0,40
7	9:22	111° 53' 54,7"	8° 00' 37,0"	1,2	1,2	1,2	1,2	1,2	1,20	-0,38	1,58	1,58
8	9:24	111° 53' 54,4"	8° 00' 36,9"	2,2	2,1	2,1	2,1	2,0	2,10	-0,48	2,58	2,58
9	9:26	111° 53' 54,2"	8° 00' 36,7"	0,0	0,0	0,0	0,0	0,0	0,00	-0,56	0,56	0,56
10	9:28	111° 53' 53,9"	8° 00' 36,6"	-1,3	-1,4	-1,3	-1,3	-1,3	-1,32	-0,58	-0,74	-0,74
11	9:30	111° 53' 53,7"	8° 00' 36,3"	1,7	1,6	1,6	1,6	1,6	1,62	-0,58	2,20	2,20
12	9:32	111° 53' 53,5"	8° 00' 36,2"	5,3	5,2	5,2	5,2	5,2	5,22	-0,58	5,80	5,80
13	9:34	111° 53' 53,3"	8° 00' 36,1"	5,4	5,3	5,2	5,2	5,1	5,24	-0,74	5,98	5,98
14	9:36	111° 53' 53,0"	8° 00' 35,9"	0,0	0,0	0,0	0,1	0,1	0,04	-0,78	0,82	0,82
15	9:38	111° 53' 52,8"	8° 00' 35,9"	-0,7	-0,6	-0,7	-0,6	-0,5	-0,62	-0,88	0,26	0,26
16	9:40	111° 53' 52,6"	8° 00' 35,6"	0,3	0,3	0,4	0,4	0,4	0,36	-0,96	1,32	1,32
17	9:42	111° 53' 52,4"	8° 00' 35,5"	4,9	5,0	5,0	4,9	4,9	4,94	-0,98	5,92	5,92
18	9:44	111° 53' 52,2"	8° 00' 35,5"	2,0	1,8	1,7	1,7	1,6	1,76	-0,98	2,74	2,74
19	9:46	111° 53' 52,0"	8° 00' 35,3"	0,4	0,4	0,4	0,4	0,5	0,42	-0,88	1,30	1,30
20	9:48	111° 53' 51,8"	8° 00' 35,1"	-1,2	-1,2	-1,1	-1,2	-1,3	-1,20	-0,88	-0,32	-0,32
21	9:50	111° 53' 51,5"	8° 00' 35,0"	-1,3	-1,3	-1,3	-1,3	-1,3	-1,30	-0,80	-0,50	-0,50
22	9:52	111° 53' 51,3"	8° 00' 34,9"	2,8	2,8	2,8	2,9	2,7	2,80	-0,78	3,58	3,58
23	9:54	111° 53' 51,0"	8° 00' 34,7"	-0,1	-0,1	-0,2	-0,2	-0,2	-0,16	-0,70	0,54	0,54
24	9:56	111° 53' 50,9"	8° 00' 34,6"	1,7	1,7	1,6	1,6	1,6	1,64	-0,68	2,32	2,32
25	9:58	111° 53' 50,6"	8° 00' 34,4"	-0,4	-0,3	-0,4	-0,3	-0,5	-0,38	-0,78	0,40	0,40

Lanjutan Tabel 4.6 Nilai beda potensial terkoreksi dari data beda potensial sebagai fungsi posisi pada lintasan 3(a) tanggal 22 April 2018

No. Titik	Waktu	Koordinat Titik		Potensial (mV)					Rerata (mV)	Variasi Harian (mV)	Terkoreksi Harian (mV)	Terkoreksi Referensi (mV)
		BT	LS	1	2	3	4	5				
26	10:00	111° 53' 50,4"	8° 00' 34,3"	4,8	4,8	4,8	4,7	4,8	4,78	-0,78	5,56	5,56
27	-	111° 53' 50,2"	8° 00' 34,2"	-	-	-	-	-	-	-	-	-
28	-	111° 53' 50,0"	8° 00' 34,0"	-	-	-	-	-	-	-	-	-
29	10:31	111° 53' 49,8"	8° 00' 33,9"	-5,4	-5,4	-5,5	-5,5	-5,6	-5,48	-0,48	-5,00	0,56
30	10:33	111° 53' 49,5"	8° 00' 33,3"	-5,9	-6,0	-6,0	-6,0	-6,1	-6,00	-0,48	-5,52	0,04
31	10:35	111° 53' 49,3"	8° 00' 33,6"	-4,5	-4,6	-4,6	-4,7	-4,7	-4,62	-0,48	-4,14	1,42
32	10:37	111° 53' 49,1"	8° 00' 33,5"	-4,1	-4,1	-4,2	-4,1	-4,2	-4,14	-0,48	-3,66	1,90
33	10:39	111° 53' 48,9"	8° 00' 33,4"	-5,5	-5,6	-5,5	-5,6	-5,6	-5,56	-0,38	-5,18	0,38
34	10:41	111° 53' 48,6"	8° 00' 33,2"	-2,3	-2,2	-2,2	-2,1	-2,2	-2,20	-0,38	-1,82	3,74
35	10:43	111° 53' 48,4"	8° 00' 33,1"	-4,7	-4,7	-4,6	-4,7	-4,7	-4,68	-0,38	-4,30	1,26
36	10:45	111° 53' 48,3"	8° 00' 33,0"	-3,9	-3,9	-4,0	-4,0	-4,0	-3,96	-0,38	-3,58	1,98
37	10:47	111° 53' 48,0"	8° 00' 32,8"	-4,1	-4,2	-4,1	-4,1	-4,1	-4,12	-0,38	-3,74	1,82
38	10:57	111° 53' 47,8"	8° 00' 32,7"	-3,7	-3,7	-3,7	-3,7	-3,8	-3,72	-0,38	-3,34	2,22
39	11:00	111° 53' 47,6"	8° 00' 32,7"	-3,7	-3,7	-3,8	-3,8	-3,9	-3,78	-0,38	-3,40	2,16
40	11:02	111° 53' 47,4"	8° 00' 32,6"	-2,3	-2,4	-2,5	-2,5	-2,5	-2,44	-0,38	-2,06	3,50
41	11:05	111° 53' 47,1"	8° 00' 32,4"	-0,8	-0,9	-0,9	-1,0	-1,1	-0,94	-0,38	-0,56	5,00
42	11:07	111° 53' 46,9"	8° 00' 32,2"	-4,3	-4,5	-4,5	-4,5	-4,5	-4,46	-0,38	-4,08	1,48
43	11:11	111° 53' 46,7"	8° 00' 32,0"	-3,4	-3,4	-3,4	-3,4	-3,4	-3,40	-0,38	-3,02	2,54
44	11:14	111° 53' 46,5"	8° 00' 31,9"	-3,6	-3,7	-3,7	-3,8	-3,8	-3,72	-0,44	-3,28	2,28
45	11:16	111° 53' 46,2"	8° 00' 31,8"	0,0	0,1	0,1	0,1	0,1	0,08	-0,40	0,48	6,04
46	11:18	111° 53' 46,1"	8° 00' 31,6"	-4,3	-4,3	-4,4	-4,4	-4,4	-4,36	-0,38	-3,98	1,58
47	11:20	111° 53' 45,9"	8° 00' 31,4"	-4,0	-4,1	-4,1	-4,0	-4,1	-4,06	-0,38	-3,68	1,88
48	11:23	111° 53' 45,6"	8° 00' 31,3"	-3,5	-3,5	-3,5	-3,6	-3,5	-3,52	-0,42	-3,10	2,46
49	11:25	111° 53' 45,4"	8° 00' 31,2"	-2,9	-3,0	-3,0	-3,0	-3,0	-2,98	-0,38	-2,60	2,96
50	11:27	111° 53' 45,2"	8° 00' 31,0"	-1,6	-1,7	-1,7	-1,7	-1,8	-1,70	-0,40	-1,30	4,26
51	11:30	111° 53' 45,0"	8° 00' 30,8"	-4,3	-4,3	-4,4	-4,4	-4,4	-4,36	-0,44	-3,92	1,64
52	11:34	111° 53' 44,8"	8° 00' 30,6"	-2,3	-2,3	-2,4	-2,4	-2,5	-2,38	-0,40	-1,98	3,58

Keterangan: “-” berarti tidak dilakukan pengukuran nilai beda potensial di titik tersebut karena terjadi perpindahan pot berpori yang ditanam secara tetap yang diikuti oleh seluruh rangkaian ke titik akhir pengukuran pot berpori yang bergerak sebelumnya.

Tabel 4.7

Nilai beda potensial terkoreksi dari data beda potensial sebagai fungsi posisi pada lintasan 4 tanggal 25 April 2018

No. Titik	Waktu	Koordinat Titik		Potensial (mV)					Rerata (mV)	Variasi Harian (mV)	Terkoreksi Harian (mV)	Terkoreksi Referensi (mV)
		BT	LS	1	2	3	4	5				
1	9:07	111° 53' 47,3"	8° 00' 20,6"	-1,6	-1,7	-1,7	-1,7	-1,7	-1,68	0,00	-1,68	-1,68
2	9:13	111° 53' 47,2"	8° 00' 20,8"	4,2	4,2	4,1	4,3	4,2	4,20	0,20	4,00	4,00
3	9:17	111° 53' 47,0"	8° 00' 21,0"	3,5	3,3	3,2	3,3	3,3	3,32	0,10	3,22	3,22
4	9:22	111° 53' 46,8"	8° 00' 21,3"	6,3	6,2	6,2	6,2	6,3	6,24	0,52	5,72	5,72
5	9:29	111° 53' 46,7"	8° 00' 21,4"	7,0	6,8	6,7	6,7	6,7	6,78	0,70	6,08	6,08
6	9:31	111° 53' 46,6"	8° 00' 21,6"	5,6	5,6	5,5	6,0	5,3	5,60	0,80	4,80	4,80
7	9:34	111° 53' 46,4"	8° 00' 21,8"	5,4	5,4	5,4	5,4	5,4	5,40	1,10	4,30	4,30
8	9:38	111° 53' 46,2"	8° 00' 22,0"	5,3	5,3	5,3	5,4	5,4	5,34	1,40	3,94	3,94
9	9:41	111° 53' 46,1"	8° 00' 22,3"	5,9	5,8	5,7	5,7	5,6	5,74	1,60	4,14	4,14
10	9:44	111° 53' 45,9"	8° 00' 22,4"	6,2	6,2	6,1	6,3	6,4	6,24	2,00	4,24	4,24
11	9:46	111° 53' 45,7"	8° 00' 22,7"	7,2	7,1	7,0	6,9	6,8	7,00	2,10	4,90	4,90
12	9:49	111° 53' 45,5"	8° 00' 22,9"	8,1	8,1	8,1	8,1	8,1	8,10	2,20	5,90	5,90
13	9:52	111° 53' 45,4"	8° 00' 23,1"	9,0	8,9	9,1	8,9	8,6	8,90	2,20	6,70	6,70
14	9:55	111° 53' 45,2"	8° 00' 23,3"	8,1	8,8	8,4	8,5	8,2	8,40	2,10	6,30	6,30
15	9:59	111° 53' 45,0"	8° 00' 23,5"	7,9	7,6	7,6	7,4	7,2	7,54	1,70	5,84	5,84
16	10:01	111° 53' 44,8"	8° 00' 23,7"	5,7	5,8	5,9	5,8	5,9	5,82	1,70	4,12	4,12
17	10:03	111° 53' 44,7"	8° 00' 23,9"	10,3	10,3	10,3	10,3	10,2	10,28	1,60	8,68	8,68
18	10:06	111° 53' 44,5"	8° 00' 24,1"	5,8	5,7	5,8	5,9	5,8	5,80	1,50	4,30	4,30
19	10:08	111° 53' 44,3"	8° 00' 24,3"	6,3	6,0	6,0	5,9	5,8	6,00	1,40	4,60	4,60
20	10:11	111° 53' 44,2"	8° 00' 24,5"	5,4	5,4	5,4	5,4	5,5	5,42	1,40	4,02	4,02
21	10:14	111° 53' 44,0"	8° 00' 24,7"	6,1	6,1	6,0	6,0	6,1	6,06	1,40	4,66	4,66
22	10:17	111° 53' 43,8"	8° 00' 24,9"	7,2	6,9	6,9	7,0	6,9	6,98	1,40	5,58	5,58
23	10:19	111° 53' 43,7"	8° 00' 25,1"	6,6	6,2	6,5	6,4	6,5	6,44	1,40	5,04	5,04
24	10:21	111° 53' 43,5"	8° 00' 25,3"	6,4	6,2	6,3	6,2	6,1	6,24	1,48	4,76	4,76
25	10:24	111° 53' 43,3"	8° 00' 25,5"	6,4	6,5	6,2	6,3	6,2	6,32	1,40	4,92	4,92

Lanjutan Tabel 4.7 Nilai beda potensial terkoreksi dari data beda potensial sebagai fungsi posisi pada lintasan 4 tanggal 25 April 2018

No. Titik	Waktu	Koordinat Titik		Potensial (mV)					Rerata (mV)	Variasi Harian (mV)	Terkoreksi Harian (mV)	Terkoreksi Referensi (mV)
		BT	LS	1	2	3	4	5				
26	-	111° 53' 43,1"	8° 00' 25,7"	-	-	-	-	-	-	-	-	-
27	-	111° 53' 43,0"	8° 00' 25,9"	-	-	-	-	-	-	-	-	-
28	10:54	111° 53' 42,8"	8° 00' 26,1"	6,2	6,2	6,1	6,1	6,1	6,14	0,80	5,34	10,26
29	10:57	111° 53' 42,6"	8° 00' 26,4"	3,2	3,2	3,1	3,0	3,0	3,10	0,78	2,32	7,24
30	11:08	111° 53' 42,4"	8° 00' 26,2"	0,0	0,0	0,0	0,0	0,0	0,00	0,60	-0,60	4,32
31	11:10	111° 53' 42,1"	8° 00' 26,0"	3,3	3,4	3,2	3,2	3,1	3,24	0,60	2,64	7,56
32	11:12	111° 53' 42,1"	8° 00' 25,9"	3,3	3,3	3,2	3,1	3,1	3,20	0,56	2,64	7,56
33	11:14	111° 53' 42,0"	8° 00' 26,2"	5,3	5,1	5,0	4,9	4,8	5,02	0,50	4,52	9,44
34	11:18	111° 53' 41,7"	8° 00' 26,4"	3,1	2,9	3,0	2,9	3,0	2,98	0,50	2,48	7,40
35	11:20	111° 53' 41,6"	8° 00' 26,5"	3,3	3,2	3,1	3,2	3,1	3,18	0,40	2,78	7,70
36	11:23	111° 53' 41,3"	8° 00' 26,3"	1,8	1,7	1,7	1,7	1,7	1,72	0,30	1,42	6,34
37	11:26	111° 53' 41,2"	8° 00' 27,0"	-0,7	-0,8	-1,1	-1,1	-1,2	-0,98	0,24	-1,22	3,70
38	11:31	111° 53' 41,1"	8° 00' 27,3"	-0,3	-0,3	-0,3	-0,3	-0,4	-0,32	0,14	-0,46	4,46
39	11:34	111° 53' 40,9"	8° 00' 27,5"	0,0	0,0	-0,1	0,0	-0,1	-0,04	0,10	-0,14	4,78

Keterangan: “-” berarti tidak dilakukan pengukuran nilai beda potensial di titik tersebut karena terjadi perpindahan pot berpori yang ditanam secara tetap yang diikuti oleh seluruh rangkaian ke titik akhir pengukuran pot berpori yang bergerak sebelumnya.

Tabel 4.8

Nilai beda potensial terkoreksi dari data beda potensial sebagai fungsi posisi pada lintasan 3(b) tanggal 25 April 2018

No. Titik	Waktu	Koordinat Titik		Potensial (mV)					Rerata	Variasi Harian (mV)	Terkoreksi Harian (mV)	Terkoreksi Referensi (mV)
		BT	LS	1	2	3	4	5				
55	13:25	111° 53' 44,3"	8° 00' 30,1"	0,8	0,8	0,8	0,8	0,8	0,80	-1,70	2,50	6,08
56	13:33	111° 53' 44,1"	8° 00' 30,0"	1,7	1,7	1,7	1,7	1,7	1,70	-1,50	3,20	6,78
57	13:35	111° 53' 43,9"	8° 00' 29,7"	2,2	2,1	2,0	1,9	1,9	2,02	-1,50	3,52	7,10
58	13:38	111° 53' 43,7"	8° 00' 29,5"	2,0	1,8	1,7	1,6	1,5	1,72	-1,50	3,22	6,80
59	13:40	111° 53' 43,4"	8° 00' 29,4"	3,7	3,5	3,3	3,3	3,2	3,40	-1,50	4,90	8,48
60	13:42	111° 53' 43,2"	8° 00' 29,3"	2,5	2,5	2,5	2,3	2,3	2,42	-1,50	3,92	7,50
61	13:44	111° 53' 43,0"	8° 00' 29,1"	2,0	1,9	1,7	1,7	1,6	1,78	-1,50	3,28	6,86
62	13:46	111° 53' 42,8"	8° 00' 28,9"	1,9	1,8	1,5	1,5	1,4	1,62	-1,46	3,08	6,66
63	13:48	111° 53' 42,6"	8° 00' 28,8"	-0,9	-0,9	-0,9	-1,0	-1,1	-0,96	-1,40	0,44	4,02
64	13:50	111° 53' 42,4"	8° 00' 28,6"	1,1	1,0	1,0	0,9	0,9	0,98	-1,40	2,38	5,96
65	13:53	111° 53' 42,3"	8° 00' 28,5"	0,4	0,1	-0,1	-0,2	-0,2	0,00	-1,40	1,40	4,98
66	13:55	111° 53' 42,0"	8° 00' 28,3"	0,8	0,8	0,6	0,5	0,4	0,62	-1,40	2,02	5,60
67	13:57	111° 53' 41,8"	8° 00' 28,1"	1,5	1,4	1,3	1,3	1,2	1,34	-1,30	2,64	6,22
68	13:59	111° 53' 41,6"	8° 00' 28,0"	0,9	0,6	0,6	0,6	0,6	0,66	-1,30	1,96	5,54
69	14:02	111° 53' 41,4"	8° 00' 27,8"	1,1	0,8	0,7	0,7	0,7	0,80	-1,30	2,10	5,68
70	14:04	111° 53' 41,2"	8° 00' 27,7"	2,6	2,6	2,5	2,5	2,5	2,54	-1,30	3,84	7,42

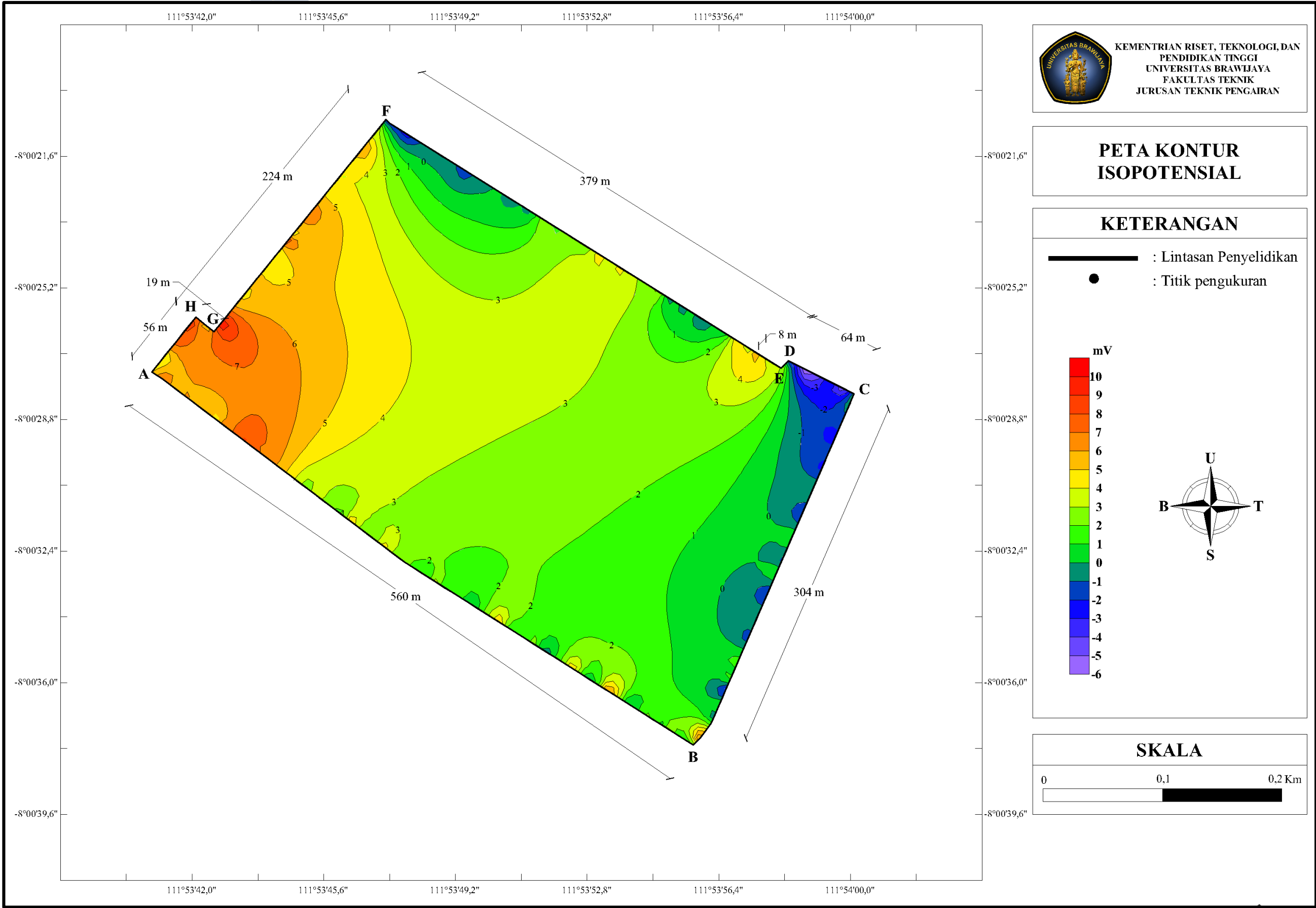
Berdasarkan perhitungan di atas didapat nilai beda potensial terkoreksi pada lintasan 1 (-2,80 mV sampai 2,06 mV), lintasan 2 (-6,36 mV sampai 6,10 mV), lintasan 3 (-0,74 sampai 8,48 mV) dan lintasan 4 (-1,68 mV sampai 10,26 mV), sehingga dapat disimpulkan bahwa nilai beda potensial di lokasi tersebut berkisar antara -6,36 mV sampai 10,26 mV dan nilai rata-ratanya adalah 2,14 mV.

4.2 Peta Kontur Isopotensial

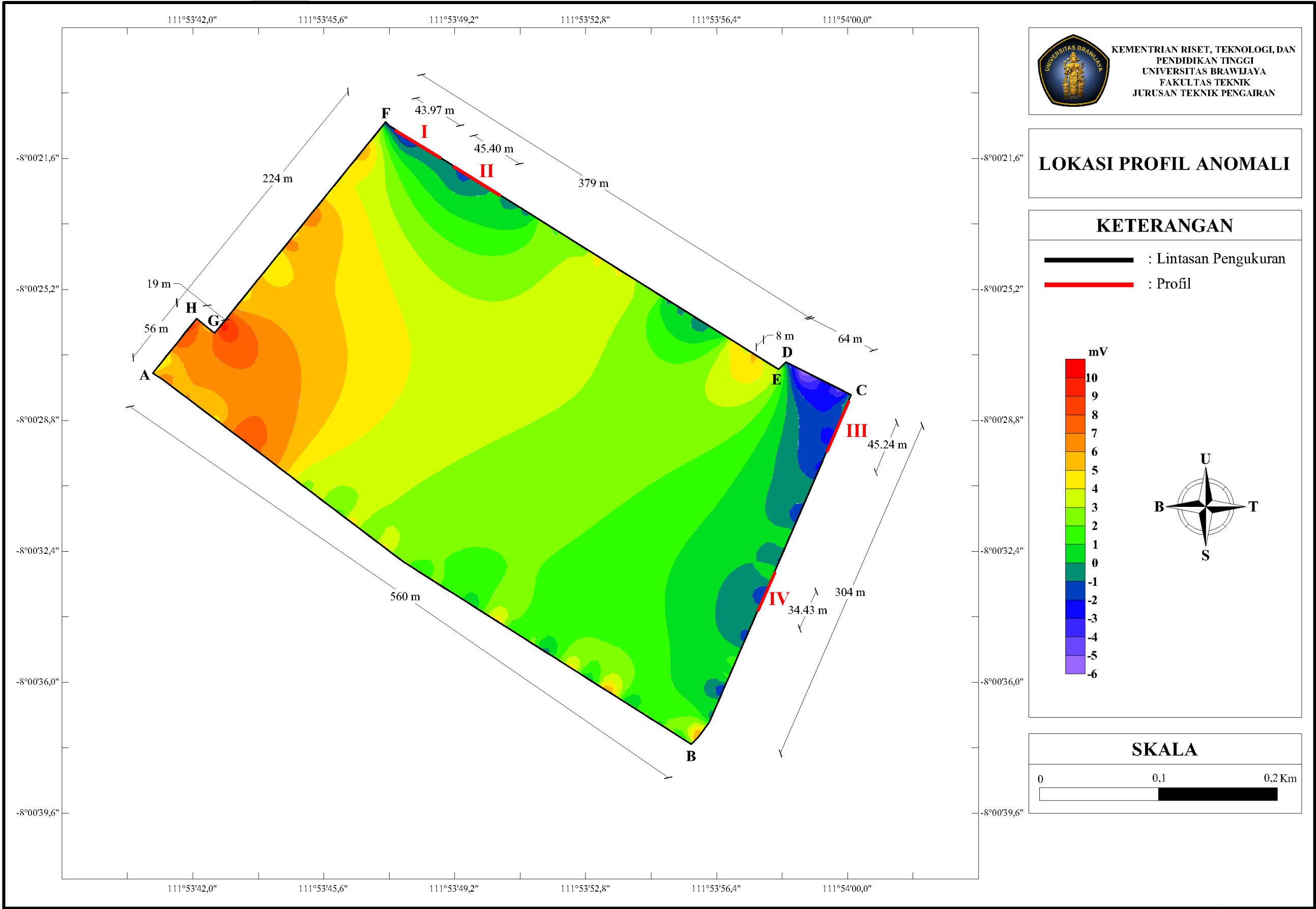
Nilai beda potensial terkoreksi yang telah dihitung dalam sub Bab 4.1 kemudian dicari lokasi sebaran nilai beda potensial terkoreksi dengan menggambarkan peta kontur isopotensial (**Gambar 4.1**). Berdasarkan peta kontur isopotensial yang telah dibuat dapat diinterpretasikan bahwa zona anomali potensial negatif ditemukan di kawasan Utara dan Timur pada lokasi penelitian. Hal ini mengindikasikan kemungkinan terjadinya akumulasi potensi air tanah dari bagian barat menuju ke Utara dan Timur. Pada peta kontur isopotensial dapat dilihat bahwa semakin kecil anomali potensial diri (bernilai negatif), maka akumulasi aliran air ke lokasi tersebut semakin besar (Sehah dan Raharjo, 2011).

4.3 Keberadaan Benda Anomali

Setelah mengetahui lokasi anomali potensial diri berdasarkan dari peta kontur isopotensial, maka selanjutnya dapat diduga letak keberadaan benda anomali untuk mengetahui kedalaman potensi air tanah dengan Metode Bola dan Metode Lempeng Miring. Sebelum melakukan perhitungan dengan Metode Bola dan Metode Lempeng Miring, terlebih dahulu dibuat profil melintang anomali dari peta kontur isopotensial (**Gambar 4.2**). Profil tersebut dibuat pada lokasi dimana terjadi penyimpangan dari keseragaman nilai beda potensial.



Gambar 4.1 Peta kontur isopotensial



Gambar 4.2 Lokasi profil anomali

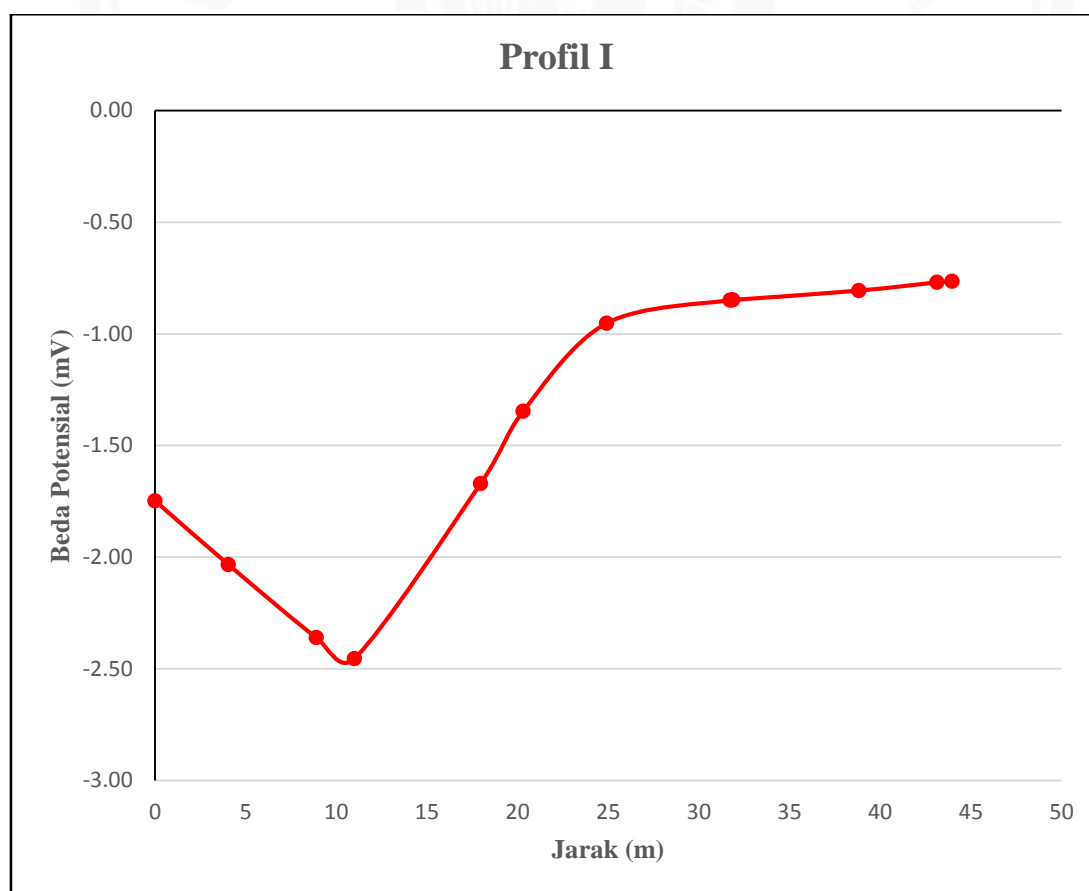
Berdasarkan letak anomali pada peta kontur isopotensial, terdapat 4 profil yang akan dicari keberadaan benda anomali yang diduga sebagai potensi air tanah. Jarak dan nilai beda potensial dari keempat profil tersebut nantinya akan dibentuk menjadi grafik hubungan antara nilai beda potensial dengan jarak, yang selanjutnya akan digunakan untuk menghitung kedalaman benda anomali.

1. Profil I

Tabel 4.9

Data koordinat dan nilai beda potensial pada profil I

Jarak (m)	Beda Potensial (mV)
0,00	-1,75
4,03	-2,03
8,89	-2,36
10,99	-2,45
17,95	-1,67
20,31	-1,35
24,91	-0,95
31,72	-0,85
31,87	-0,85
38,83	-0,81
43,14	-0,77
43,97	-0,76



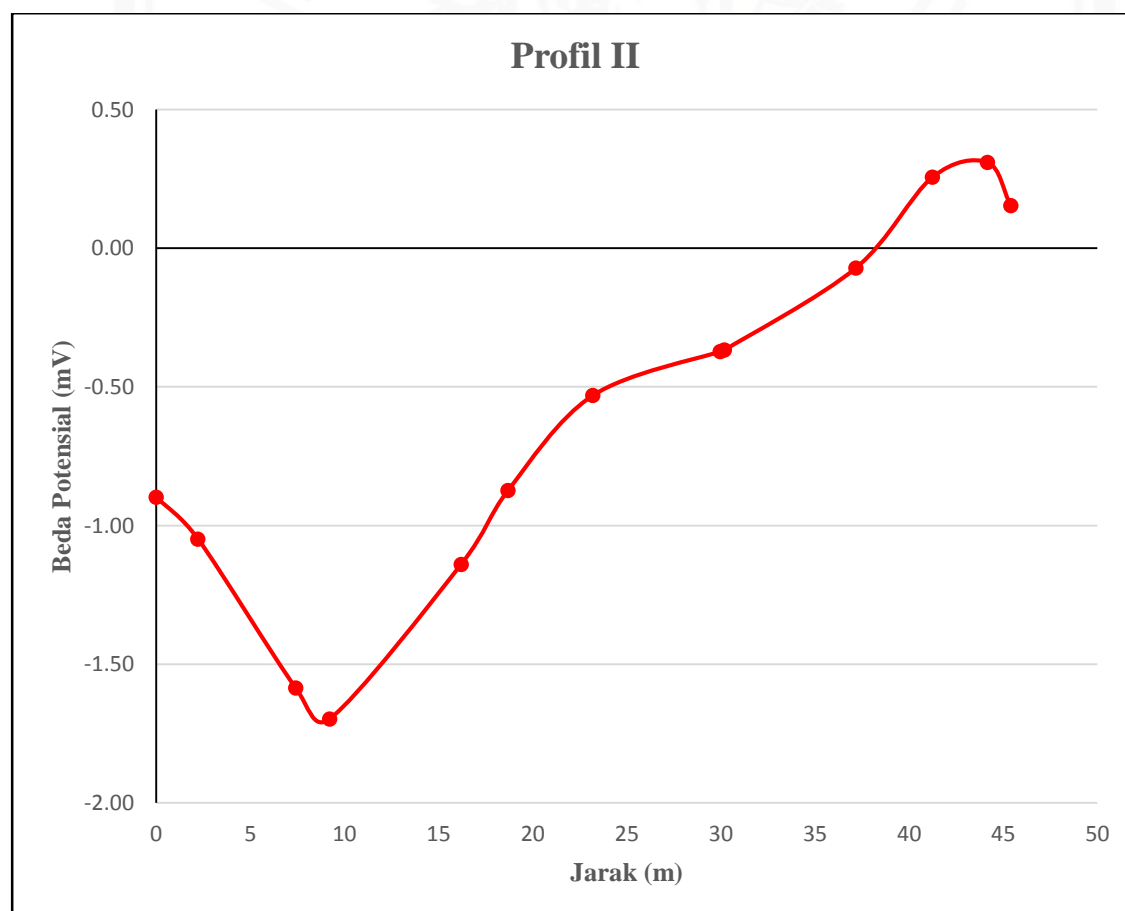
Gambar 4.3 Grafik hubungan beda potensial dan jarak (Profil I)

2. Profil II

Tabel 4.10

Data koordinat dan nilai beda potensial pada profil II

Jarak (m)	Beda Potensial (mV)
0,00	-0,90
2,21	-1,05
7,41	-1,59
9,21	-1,70
16,20	-1,14
18,69	-0,87
23,19	-0,53
29,96	-0,37
30,18	-0,37
37,17	-0,07
41,24	0,26
44,17	0,31
45,40	0,15



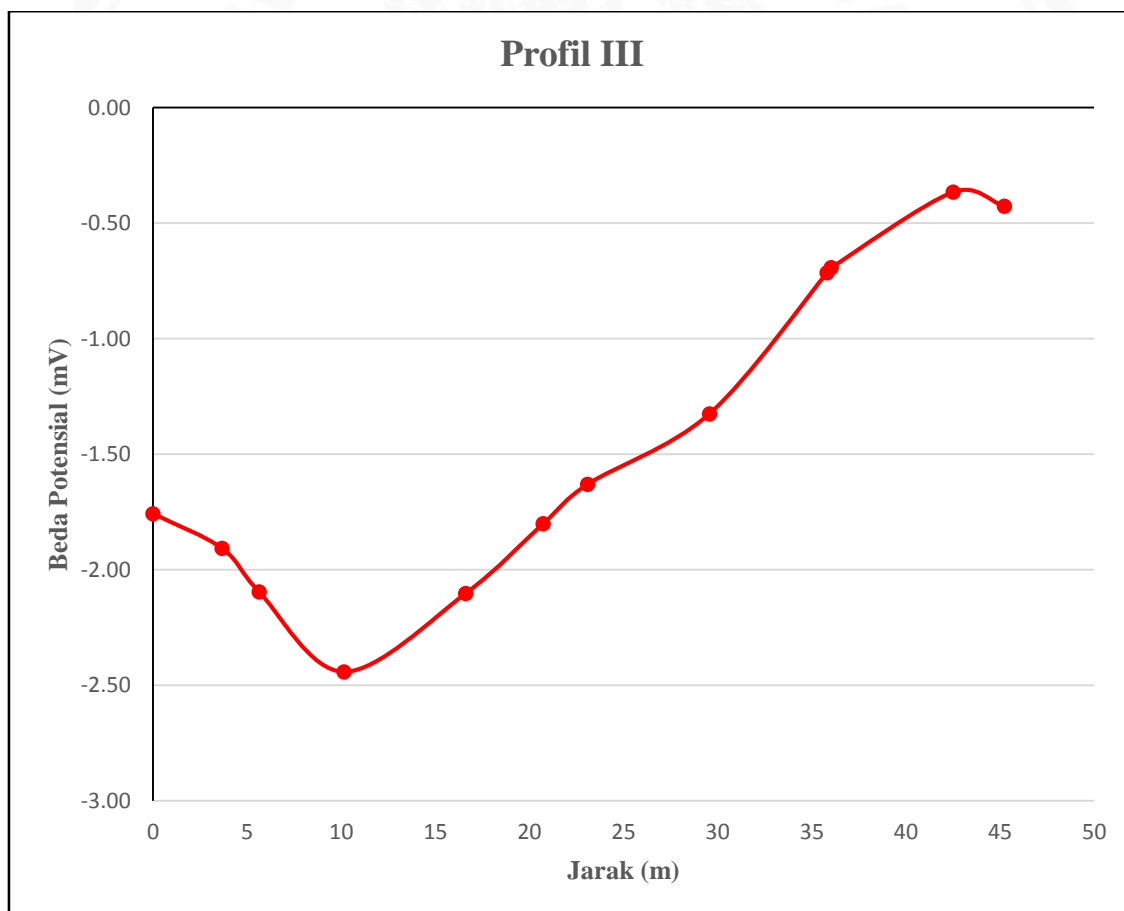
Gambar 4.4 Grafik hubungan beda potensial dan jarak (Profil II)

3. Profil III

Tabel 4.11

Data koordinat dan nilai beda potensial pada profil III

Jarak (m)	Beda Potensial (mV)
0,00	-1,76
3,67	-1,91
5,64	-2,10
10,15	-2,44
16,62	-2,10
20,73	-1,80
23,09	-1,63
29,57	-1,33
35,82	-0,71
36,04	-0,69
42,51	-0,37
45,24	-0,43



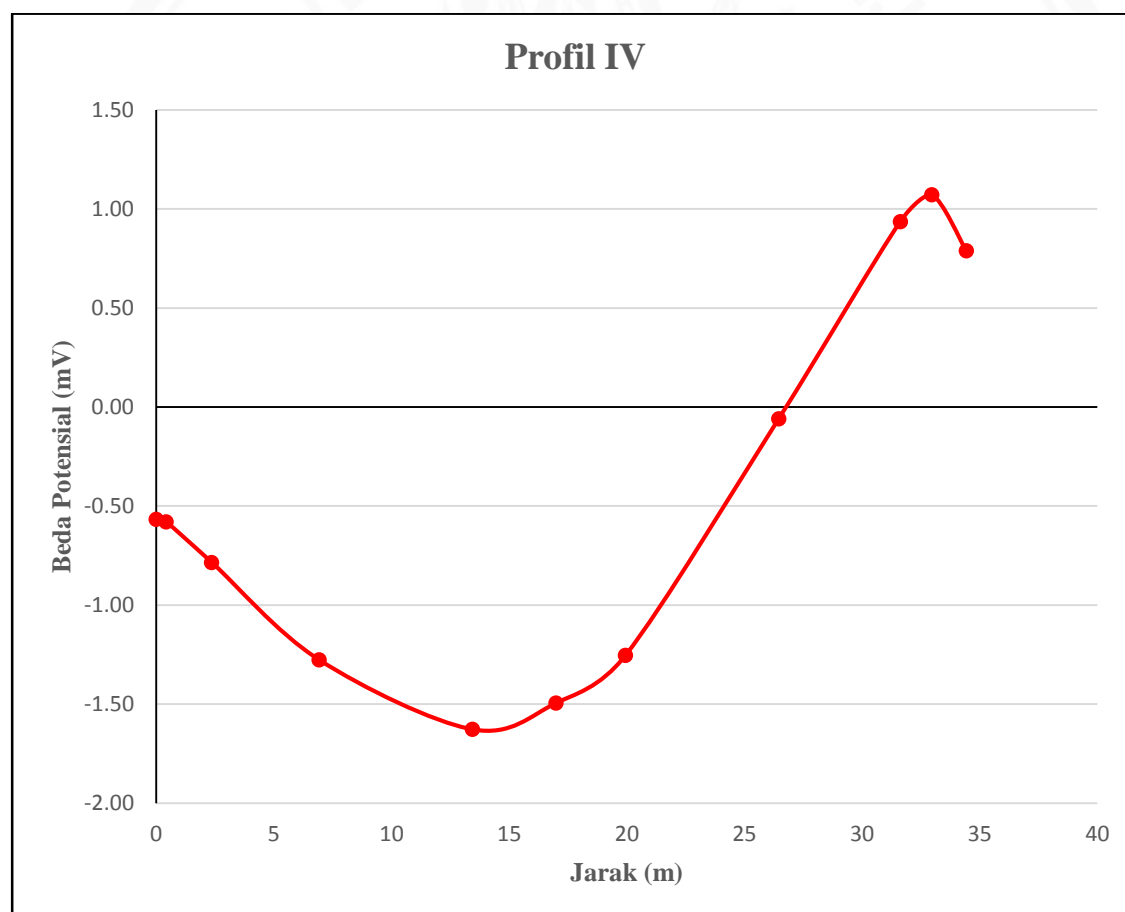
Gambar 4.5 Grafik hubungan beda potensial dan jarak (Profil III)

4. Profil IV

Tabel 4.12

Data koordinat dan nilai beda potensial pada profil IV

Jarak (m)	Beda Potensial (mV)
0,00	-0,57
0,41	-0,58
2,36	-0,78
6,92	-1,28
13,44	-1,63
16,99	-1,50
19,95	-1,25
26,46	-0,06
31,62	0,94
32,97	1,07
34,43	0,79



Gambar 4.6 Grafik hubungan beda potensial dan jarak (Profil IV)

Berdasarkan grafik pada gambar 4.3 sampai dengan gambar 4.6 di atas maka selanjutnya dilakukan perhitungan parameter benda anomali dengan Metode Bola dan Metode Lempeng Miring.

1. Metode Bola

a. Perhitungan parameter benda anomali untuk profil I

Perhitungannya adalah sebagai berikut:

$$(1) V_{maksimum} = -0,76 \text{ mV}$$

$$V_{minimum} = -2,45 \text{ mV}$$

$$\begin{aligned} (2) V_{1/2} &= \frac{1}{2}(V_{maksimum} + V_{minimum}) \\ &= \frac{1}{2}[(-0,76) + (-2,45)] \\ &= -1,609 \text{ mV} \end{aligned}$$

$$(3) x_{maks} = 43,974 \text{ m}$$

$$x_{min} = 10,993 \text{ m}$$

$$(4) x_{1/2} = 18,397 \text{ m}$$

$$(5) a = 16,490 \text{ m}$$

$$\begin{aligned} (6) a/(x_{min}-x_{1/2}) &= 16,490/(10,993 - 18,397) \\ &= -2,23 \end{aligned}$$

$$\begin{aligned} a/(x_{maks}-x_{1/2}) &= 16,490/(43,974 - 18,397) \\ &= 0,64 \end{aligned}$$

Dari nilai di atas, maka dapat digunakan grafik dengan kurva e (**Gambar 3.25**) untuk mencari nilai $\alpha = 27^\circ$

(7) Mencari nilai a/h dari kurva c (**Gambar 3.24**).

$$a/h = 1,7$$

$$h = a/1,7$$

$$= 16,490 / 1,7$$

$$= 9,70 \text{ m}$$

Potensi air tanah diduga pada kedalaman 9,70 m

b. Perhitungan parameter benda anomali untuk profil II

Perhitungannya adalah sebagai berikut:

$$(1) V_{maksimum} = 0,31 \text{ mV}$$

$$V_{minimum} = -1,70 \text{ mV}$$

$$(2) V_{1/2} = \frac{1}{2}(V_{maksimum} + V_{minimum})$$

$$= \frac{1}{2}[(0,31) + (-1,70)]$$

$$= -0,694 \text{ mV}$$

$$(3) \ x_{\text{maks}} = 44,166 \text{ m}$$

$$x_{\text{min}} = 9,206 \text{ m}$$

$$(4) \ x_{1/2} = 21,050 \text{ m}$$

$$(5) \ a = 17,480 \text{ m}$$

$$(6) \ a/(x_{\text{min}}-x_{1/2}) = 17,480/(9,206 - 21,050)$$

$$= -1,48$$

$$a/(x_{\text{max}}-x_{1/2}) = 17,480/(44,166 - 21,050)$$

$$= 0,76$$

Dari nilai di atas, maka dapat digunakan grafik dengan kurva e (**Gambar 3.25**) untuk mencari nilai $\alpha = 52^\circ$

(7) Mencari nilai a/h dari kurva c (**Gambar 3.24**).

$$a/h = 0,9$$

$$h = a/0,9$$

$$= 17,480 / 1,7$$

$$= 19,422 \text{ m}$$

Potensi air tanah diduga pada kedalaman 19,42 m

c. Perhitungan parameter benda anomali untuk profil III

Perhitungannya adalah sebagai berikut:

$$(1) \ V_{\text{maksimum}} = -0,37 \text{ mV}$$

$$V_{\text{minimum}} = -2,44 \text{ mV}$$

$$(2) \ V_{1/2} = \frac{1}{2}(V_{\text{maksimum}} + V_{\text{minimum}})$$

$$= \frac{1}{2}[(-0,37) + (-2,44)]$$

$$= -1,404 \text{ mV}$$

$$(3) \ x_{\text{maks}} = 42,512 \text{ m}$$

$$x_{\text{min}} = 10,147 \text{ m}$$

$$(4) \ x_{1/2} = 27,897 \text{ m}$$

$$(5) \ a = 16,183 \text{ m}$$

$$(6) \ a/(x_{\text{min}}-x_{1/2}) = 16,183/(10,147 - 27,897)$$

$$= -0,91$$

$$a/(x_{\text{max}}-x_{1/2}) = 16,183/(42,512 - 27,897)$$

$$= 1,11$$

Dari nilai di atas, tidak ada nilai yang sesuai dengan kurva d atau e (**Gambar 3.24** dan **Gambar 3.25**) untuk mencari nilai α . Oleh karena itu, perhitungan selanjutnya tidak bisa dilakukan, sehingga nilai h (kedalaman potensi air tanah) tidak dapat diketahui.

d. Perhitungan parameter benda anomali untuk profil IV

Perhitungannya adalah sebagai berikut:

$$(1) V_{\text{maksimum}} = 1,07 \text{ mV}$$

$$V_{\text{minimum}} = -1,63 \text{ mV}$$

$$\begin{aligned} (2) V_{1/2} &= \frac{1}{2}(V_{\text{maksimum}} + V_{\text{minimum}}) \\ &= \frac{1}{2}[(1,07) + (-1,63)] \\ &= -0,279 \text{ mV} \end{aligned}$$

$$(3) x_{\text{maks}} = 32,968 \text{ m}$$

$$x_{\text{min}} = 13,435 \text{ m}$$

$$(4) x_{1/2} = 25,261 \text{ m}$$

$$(5) a = 9,766 \text{ m}$$

$$\begin{aligned} (6) a/(x_{\text{min}} - x_{1/2}) &= 9,766/(13,435 - 25,261) \\ &= -0,83 \end{aligned}$$

$$\begin{aligned} a/(x_{\text{maks}} - x_{1/2}) &= 9,766/(32,968 - 25,261) \\ &= 1,27 \end{aligned}$$

Dari nilai di atas, tidak ada nilai yang sesuai dengan kurva d atau e (**Gambar 3.24** dan **Gambar 3.25**) untuk mencari nilai α . Oleh karena itu, perhitungan selanjutnya tidak bisa dilakukan, sehingga nilai h (kedalaman potensi air tanah) tidak dapat diketahui.

2. Metode Lempeng Miring

a. Perhitungan parameter benda anomali untuk profil I

Perhitungannya adalah sebagai berikut:

$$(1) V_{\text{maksimum}} = -0,76 \text{ mV}$$

$$V_{\text{minimum}} = -2,45 \text{ mV}$$

$$(2) x_{\text{maks}} = 43,974 \text{ m}$$

$$x_{\text{min}} = 10,993 \text{ m}$$

$$(3) x_0 = 16,49 \text{ m}$$

$$(4) x_s = 27,48 \text{ m}$$

$$\begin{aligned}
 (5) \quad h &= \sqrt{|X_{max} \cdot X_{min}|} \\
 &= \sqrt{|43,974 \times 10,993|} \\
 &= 21,99 \text{ m} \\
 (6) \quad a &= \frac{X_S^2 - h^2}{2X_0} \\
 &= \frac{27,48^2 - 21,99^2}{2 \times 16,49} \\
 &= 8,25 \text{ m} \\
 (7) \quad H &= \sqrt{X_S^2 - a^2} \\
 &= \sqrt{27,48^2 - 8,25^2} \\
 &= 26,22 \text{ m} \\
 (8) \quad \theta &= \tan^{-1} \left(\frac{H-h}{a} \right) \\
 &= \tan^{-1} \left(\frac{26,22-21,99}{8,25} \right) \\
 &= 27,16^\circ
 \end{aligned}$$

Berdasarkan perhitungan di atas didapatkan h (batas atas) = 21,99 m dan H (batas bawah) = 26,22 m, dimana batas tersebut diduga menunjukkan lapisan batuan dengan permeabilitas tinggi sehingga dapat dilalui atau dialiri oleh fluida.

b. Perhitungan parameter benda anomali untuk profil II

Perhitungannya adalah sebagai berikut:

$$\begin{aligned}
 (1) \quad V_{maksimum} &= 0,31 \text{ mV} \\
 V_{minimum} &= -1,70 \text{ mV} \\
 (2) \quad x_{maks} &= 44,166 \text{ m} \\
 x_{min} &= 9,206 \text{ m} \\
 (3) \quad x_0 &= 17,48 \text{ m} \\
 (4) \quad x_s &= 26,69 \text{ m} \\
 (5) \quad h &= \sqrt{|X_{max} \cdot X_{min}|} \\
 &= \sqrt{|44,166 \times 9,206|} \\
 &= 20,16 \text{ m} \\
 (6) \quad a &= \frac{X_S^2 - h^2}{2X_0}
 \end{aligned}$$

$$\begin{aligned}
 &= \frac{26,69^2 - 20,16^2}{2 \times 17,48} \\
 &= 8,74 \text{ m} \\
 (7) \ H &= \sqrt{X_s^2 - a^2} \\
 &= \sqrt{26,69^2 - 8,74^2} \\
 &= 25,21 \text{ m} \\
 (8) \ \theta &= \tan^{-1} \left(\frac{H-h}{a} \right) \\
 &= \tan^{-1} \left(\frac{25,21-20,16}{8,74} \right) \\
 &= 30,02^\circ
 \end{aligned}$$

Berdasarkan perhitungan di atas didapatkan h (batas atas) = 20,16 m dan H (batas bawah) = 25,21 m, dimana batas tersebut diduga menunjukkan lapisan batuan dengan permeabilitas tinggi sehingga dapat dilalui atau dialiri oleh fluida.

c. Perhitungan parameter benda anomali untuk profil III

Perhitungannya adalah sebagai berikut:

$$\begin{aligned}
 (1) \ V_{\text{maksimum}} &= -0,37 \text{ mV} \\
 \quad V_{\text{minimum}} &= -2,44 \text{ mV} \\
 (2) \ X_{\text{maks}} &= 42,512 \text{ m} \\
 \quad X_{\text{min}} &= 10,147 \text{ m} \\
 (3) \ X_0 &= 16,18 \text{ m} \\
 (4) \ X_s &= 26,33 \text{ m} \\
 (5) \ h &= \sqrt{|X_{\text{maks}} \cdot X_{\text{min}}|} \\
 &= \sqrt{|42,512 \times 10,147|} \\
 &= 20,77 \text{ m} \\
 (6) \ a &= \frac{X_s^2 - h^2}{2X_0} \\
 &= \frac{26,33^2 - 20,77^2}{2 \times 16,18} \\
 &= 8,09 \text{ m} \\
 (7) \ H &= \sqrt{X_s^2 - a^2} \\
 &= \sqrt{26,33^2 - 8,09^2} \\
 &= 25,06 \text{ m}
 \end{aligned}$$

$$\begin{aligned}
 (8) \quad \theta &= \tan^{-1} \left(\frac{H-h}{a} \right) \\
 &= \tan^{-1} \left(\frac{25,06-20,77}{8,09} \right) \\
 &= 27,91^\circ
 \end{aligned}$$

Berdasarkan perhitungan di atas didapatkan h (batas atas) = 20,77 m dan H (batas bawah) = 25,06 m, dimana batas tersebut diduga menunjukkan lapisan batuan dengan permeabilitas tinggi sehingga dapat dilalui atau dialiri oleh fluida.

d. Perhitungan parameter benda anomali untuk profil IV

Perhitungannya adalah sebagai berikut:

$$(1) \quad V_{\text{maksimum}} = 1,07 \text{ mV}$$

$$V_{\text{minimum}} = -1,63 \text{ mV}$$

$$(2) \quad x_{\text{maks}} = 32,968 \text{ m}$$

$$x_{\text{min}} = 13,435 \text{ m}$$

$$(3) \quad x_0 = 9,77 \text{ m}$$

$$(4) \quad x_s = 23,20 \text{ m}$$

$$\begin{aligned}
 (5) \quad h &= \sqrt{|x_{\text{maks}} \cdot x_{\text{min}}|} \\
 &= \sqrt{|32,968 \times 13,435|} \\
 &= 21,05 \text{ m}
 \end{aligned}$$

$$\begin{aligned}
 (6) \quad a &= \frac{x_s^2 - h^2}{2x_0} \\
 &= \frac{23,20^2 - 21,05^2}{2 \times 9,77} \\
 &= 4,88 \text{ m}
 \end{aligned}$$

$$\begin{aligned}
 (7) \quad H &= \sqrt{x_s^2 - a^2} \\
 &= \sqrt{23,20^2 - 4,88^2} \\
 &= 22,68 \text{ m}
 \end{aligned}$$

$$\begin{aligned}
 (8) \quad \theta &= \tan^{-1} \left(\frac{H-h}{a} \right) \\
 &= \tan^{-1} \left(\frac{22,68-21,05}{4,88} \right) \\
 &= 18,52^\circ
 \end{aligned}$$

Berdasarkan perhitungan di atas didapatkan h (batas atas) = 21,05 m dan H (batas bawah) = 22,68 m, dimana batas tersebut diduga menunjukkan lapisan batuan dengan permeabilitas tinggi sehingga dapat dilalui atau dialiri oleh fluida.

Berdasarkan perhitungan keberadaan benda anomali (kedalaman potensi air tanah) dengan metode bola dan lempeng miring dapat dilihat perbandingannya pada **Tabel 4.13** berikut.

Tabel 4.13

Hasil perhitungan dengan Metode Bola dan Metode Lempeng Miring

Profil	Nilai Potensial Diri (mV)	Tipe Anomali	Sumber Anomali	Keberadaan Benda Anomali	
				Metode Bola	Metode Lempeng Miring
I	-2,45 sd. -0,76	Positif/negatif puluhan sampai ratusan mV	Air Tanah	$h = 9,70 \text{ m}; \alpha = 27^\circ$	$h = 21,99 \text{ m}; H = 26,22 \text{ m}; \theta = 27,16^\circ$
II	-1,70 sd. 0,31	Positif/negatif puluhan sampai ratusan mV	Air Tanah	$h = 19,42 \text{ m}; \alpha = 52^\circ$	$h = 20,16 \text{ m}; H = 25,21 \text{ m}; \theta = 30,02^\circ$
III	-2,44 sd. -0,37	Positif/negatif puluhan sampai ratusan mV	Air Tanah	-	$h = 20,77 \text{ m}; H = 25,06 \text{ m}; \theta = 27,91^\circ$
IV	-1,63 sd. 1,07	Positif/negatif puluhan sampai ratusan mV	Air Tanah	-	$h = 21,05 \text{ m}; H = 22,68 \text{ m}; \theta = 18,52^\circ$

Berdasarkan Tabel 4.13 di atas dapat diketahui tipe dan sumber anomali berdasarkan **Tabel 2.1** Sumber dan tipe anomali potensial diri (Reynold, 1997). Dari keempat profil sumber anomali merupakan air tanah. Pada perhitungan di atas metode bola tidak dapat diterapkan pada semua profil di lokasi penelitian, karena baik nilai $a/(x_{\min}-x_{1/2})$ atau $a/(x_{\max}-x_{1/2})$ tidak terdapat pada kurva d atau e (**Gambar 3.24** dan **Gambar 3.25**). Sedangkan metode lempeng miring dapat diterapkan pada semua profil di lokasi penelitian.

Nilai parameter metode bola (h) dan metode lempeng miring (h dan H) selanjutnya dicocokkan dengan data log litologi sumur produksi SDTA 616 (**Lampiran III**) yang berjarak 696 m dari lokasi penelitian sebagai tolak ukur untuk mengetahui metode manakah yang lebih sesuai untuk digunakan dalam menduga keberadaan air tanah di lokasi penelitian.

Tabel 4.14

Hasil perbandingan Metode Bola dan Metode Lempeng Miring dengan SDTA 616

Profil	Keberadaan Benda Anomali			
	Metode Lempeng Miring	Litologi Batuan	Metode Bola	Litologi Batuan
I	$h = 21,99 \text{ m}; H = 26,22 \text{ m}$	Lempung pasir	$h = 9,70 \text{ m}$	Tuffa
II	$h = 20,16 \text{ m}; H = 25,21 \text{ m}$	Lempung pasir	$h = 19,42 \text{ m}$	Lempung pasir
III	$h = 20,77 \text{ m}; H = 25,06 \text{ m}$	Lempung pasir	-	-
IV	$h = 21,05 \text{ m}; H = 22,68 \text{ m}$	Lempung pasir	-	-

Setelah dicocokkan dengan SDTA 616 diperoleh hasil bahwa baik parameter benda anomali yang dihitung berdasarkan metode bola atau lempeng miring tidak ada yang sesuai dengan data litologi SDTA 616, karena parameter-parameter tersebut berada pada lapisan lempung pasir dan tuffa yang merupakan lapisan kedap air. Hal ini diduga karena lokasi SDTA 616 dengan lokasi penelitian agak jauh, sehingga formasi batuan di antara kedua lokasi tersebut berbeda.

Untuk mengatasi permasalahan di atas, dalam penelitian ini selanjutnya digunakan data sumur bor petani yang berada di sekitar lokasi penelitian (**Gambar 4.7**) sebagai tolak ukur hasil penyelidikan yang kedua. Hasil perhitungan dan penentuan keberadaan benda anomali yang diduga sebagai potensi air tanah dibandingkan dengan kedalaman sumur bor milik petani. Masing-masing hasil perhitungan dengan metode bola dan metode lempeng miring dihitung nilai penyimpangannya terhadap kedalaman sumur bor petani yang mempresentasikan posisi kedalaman keberadaan air tanah. Perbandingan hasil penentuan keberadaan benda anomali dengan kedalaman sumur bor petani yang ditunjukkan dengan nilai penyimpangan diberikan **dalam Tabel 4.15**.

Tabel 4.15

Hasil perbandingan Metode Bola dan Metode Lempeng Miring dengan sumur bor petani

Profil	Metode Bola	Metode Lempeng Miring			Sumur Bor Petani (Tolak Ukur)		Penyimpangan (%)	
	h(m)	h (m)	H (m)	Median (m)	No.	Kedalaman (m)	Metode Bola	Metode Lempeng Miring
I	9,70	21,99	26,22	24,10	1	18,26	46,88	31,99
II	19,42	20,16	25,21	22,69	1	18,26	6,36	24,26
III	-	20,77	25,06	22,91	2	26,70	-	14,19
IV	-	21,05	22,68	21,86	2	26,70	-	18,11

Catatan: Nilai penyimpangan dihitung berdasarkan perbandingan selisih kedalaman sumur bor dengan hasil perhitungan terhadap kedalaman sumur bor.

Berdasarkan tabel perbandingan di atas, pada profil I didapatkan bahwa parameter pada metode lempeng miring memiliki nilai simpangan lebih kecil daripada metode bola, sedangkan pada profil II parameter pada metode lempeng miring memiliki nilai simpangan yang lebih besar daripada metode bola. Untuk profil III dan IV hanya digunakan metode lempeng miring saja, karena berdasarkan perhitungan dengan metode bola tidak didapatkan nilai parameter h. Dengan demikian, secara umum metode lempeng miring lebih sesuai untuk digunakan pada lokasi penelitian daripada metode bola. Metode lempeng miring juga memiliki kelebihan dapat menunjukkan batas atas dan batas bawah keberadaan benda anomali yang dipresentasikan berdasarkan nilai h dan H yang sangat dibutuhkan untuk perencanaan sumur produksi dalam kaitannya dengan pemasangan pipa *screen*.





4.4 Pemanfaatan Hasil Penyelidikan

Hasil penyelidikan potensi air tanah dengan menggunakan metode potensial diri di lokasi penelitian digunakan sebagai dasar untuk merencanakan konstruksi sumur pada lokasi yang diduga sebagai sumber anomali (potensi air tanah). Berdasarkan nilai h dan H hasil perhitungan dengan metode lempeng miring direncanakan 4 alternatif konstruksi sumur pada profil (I, II, III dan IV) untuk keperluan irigasi pada area persawahan di lokasi penelitian. Lokasi konstruksi sumur yang direncanakan berada pada satu titik di sepanjang masing-masing profil (**Gambar 4.8**). Posisi sumur rencana ditunjukkan dalam tabel 4.16 dibawah ini.

Tabel 4.16
Koordinat lokasi konstruksi sumur

Sumur Rencana	Koordinat Titik	
	BT	LS
Sumur a pada profil I	111° 53' 47,9"	8° 00' 21,0"
Sumur b pada profil II	111° 53' 49,4"	8° 00' 22,0"
Sumur c pada profil III	111° 53' 59,6"	8° 00' 29,3"
Sumur d pada profil IV	111° 53' 57,7"	8° 00' 33,6"

Nilai parameter h dan H yang dihasilkan dari perhitungan dengan metode lempeng miring diduga sebagai batas lapisan akuifer. Ketika dilakukan pemboran sampai pada kedalaman lapisan akuifer tersebut, air yang keluar dari akuifer akan mengisi sumur dan muka air tanahnya akan naik setara (identik) dengan muka air tanah dangkal di sekitarnya. Dimana muka air tanah pada sumur bor petani di sekitar area lokasi penelitian berada pada kedalaman < 5 meter. Referensi spesifikasi pompa yang dapat dipakai ditunjukkan dalam tabel 4.17 dibawah ini.

Tabel 4.17
Spesifikasi pompa

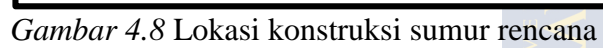
Sumur Rencana	H	Spesifikasi Pompa						
		Model	Tinggi hisap	Tinggi total	Tenaga maksimal	Berat kering	Debit pompa	
a	26,22 m	WP30X	8 m	28 m	5.5HP/4000rpm	26 kg	60	16,67
b	25,21 m							
c	25,06 m							
d	22,68 m							

Sumber: pompa air milik petani yang digunakan di lokasi penelitian

Nilai h dan H juga dipakai dalam perencanaan konstruksi sumur guna menentukan kedalaman sumur dan panjang *screen* (saringan). Kedalaman sumur ditentukan dengan melihat batas bawah akuifer (H), sedangkan panjang pipa *screen* (saringan) dihitung

berdasarkan ketebalan akuifer ($H-h$). Diameter sumur disesuaikan dengan konstruksi sumur menengah sebagaimana yang umum digunakan untuk pembuatan konstruksi sumur yang dilakukan oleh instansi Pendayagunaan Air Tanah SNVT PJPA Brantas, BBWS Brantas. Perencanaan konstruksi sumur pada profil I, II, III dan IV ditunjukkan dalam gambar 4.9 sampai dengan gambar 4.12, dengan bagian-bagian beserta fungsinya dapat diuraikan sebagai berikut (Suharyadi, 1984; PAMSIMAS, 2015):

1. Pipa jambang : sebagai rumah untuk peralatan pompa. Rumah pada bagian pipa jambang harus dapat meletakkan pompa agar selalu terendam air.
2. Pipa buta : dipasang pada lapisan kedap air atau pada akuifer yang tidak diinginkan untuk diambil air tanahnya.
3. Pipa *screen* : sebagai tempat masuknya air tanah kedalaman ke dalam sumur. Lubang-lubang pada *screen* berfungsi untuk menahan pasir dan kerikil agar tidak masuk ke dalam sumur, sehingga hanya meloloskan air tanah.
4. *Cemented* : untuk memberikan segel terhadap kemungkinan kontaminasi dari permukaan.
5. *Centralizer* : untuk menempatkan pipa pada tengah-tengah lubang bor.
6. *Reducer* : sebagai penyambung dari pipa jambang ke pipa buta.
7. *Gravel pack* : untuk mencegah pasir dan partikel pasir halus yang bergerak dari tanah akuifer ke dalam sumur.
8. *Plug* : untuk mencegah adanya kontaminasi antara lumpur dengan bubur semen.

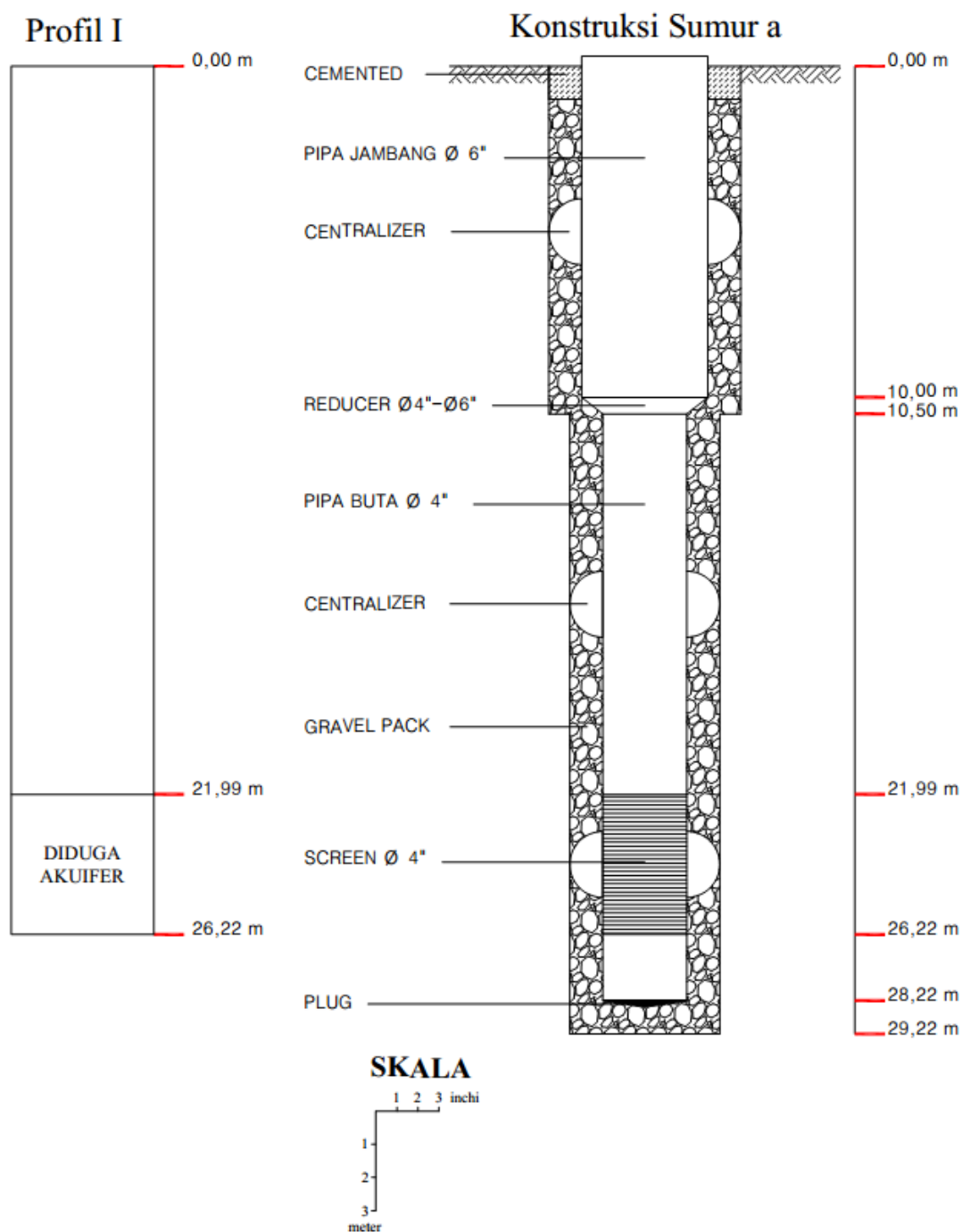




SMTA : a

LOKASI : Ds. Gedangan, Kec. Karangrejo, Kab.Tulungagung
KOORDINAT : 111° 53' 47,9" BT 8° 00' 21,0" LS

KEDALAMAN : 29,22 m
ELEVASI : +101 mdpl

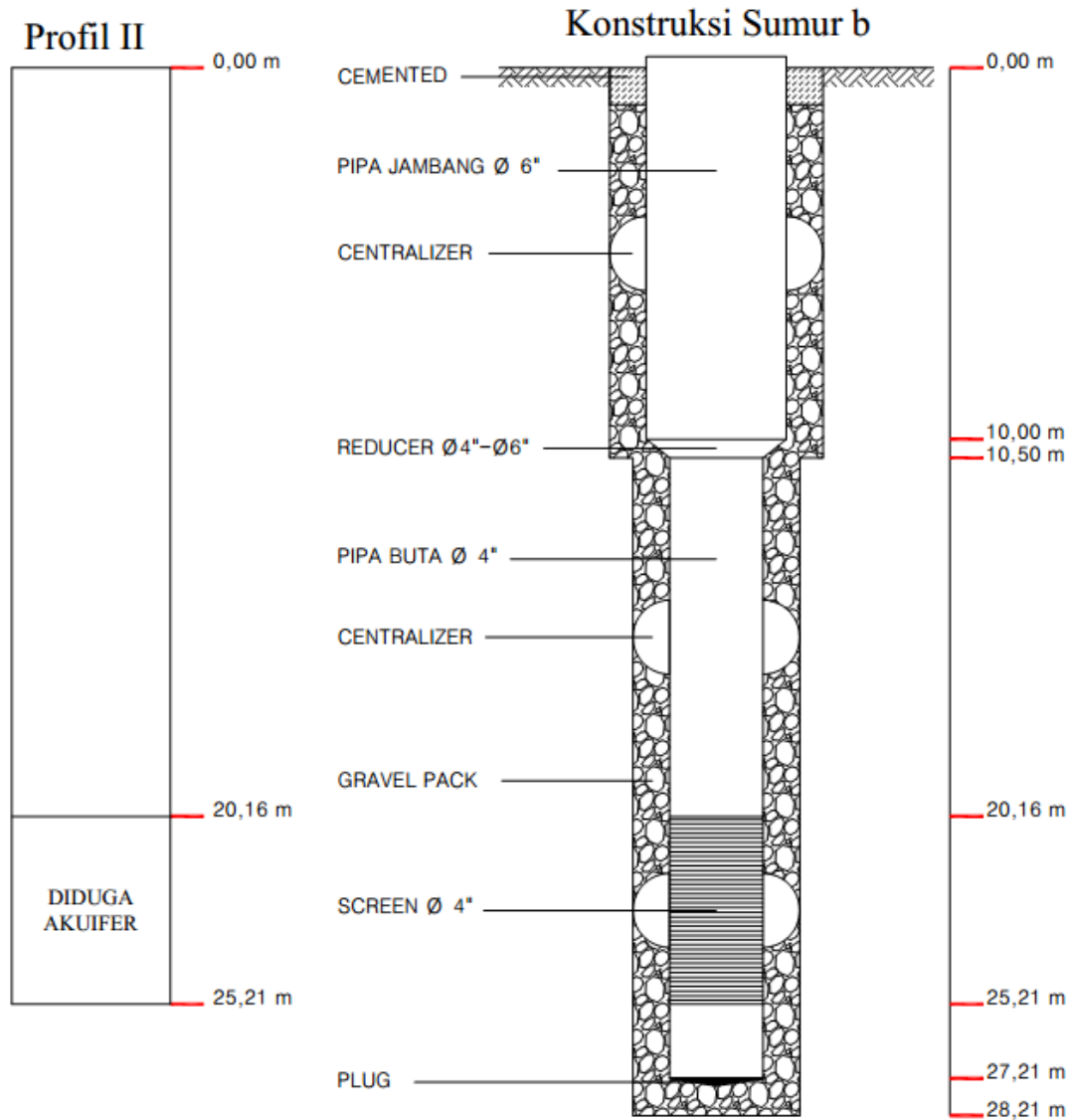
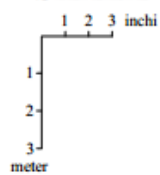


Gambar 4.9 Konstruksi sumur a

SMTA : b

LOKASI : Ds. Gedangan, Kec. Karangrejo, Kab. Tulungagung
KOORDINAT : 111° 53' 49,4" BT 8° 00' 22,0" LS

KEDALAMAN : 28,21 m
ELEVASI : +101 mdpl

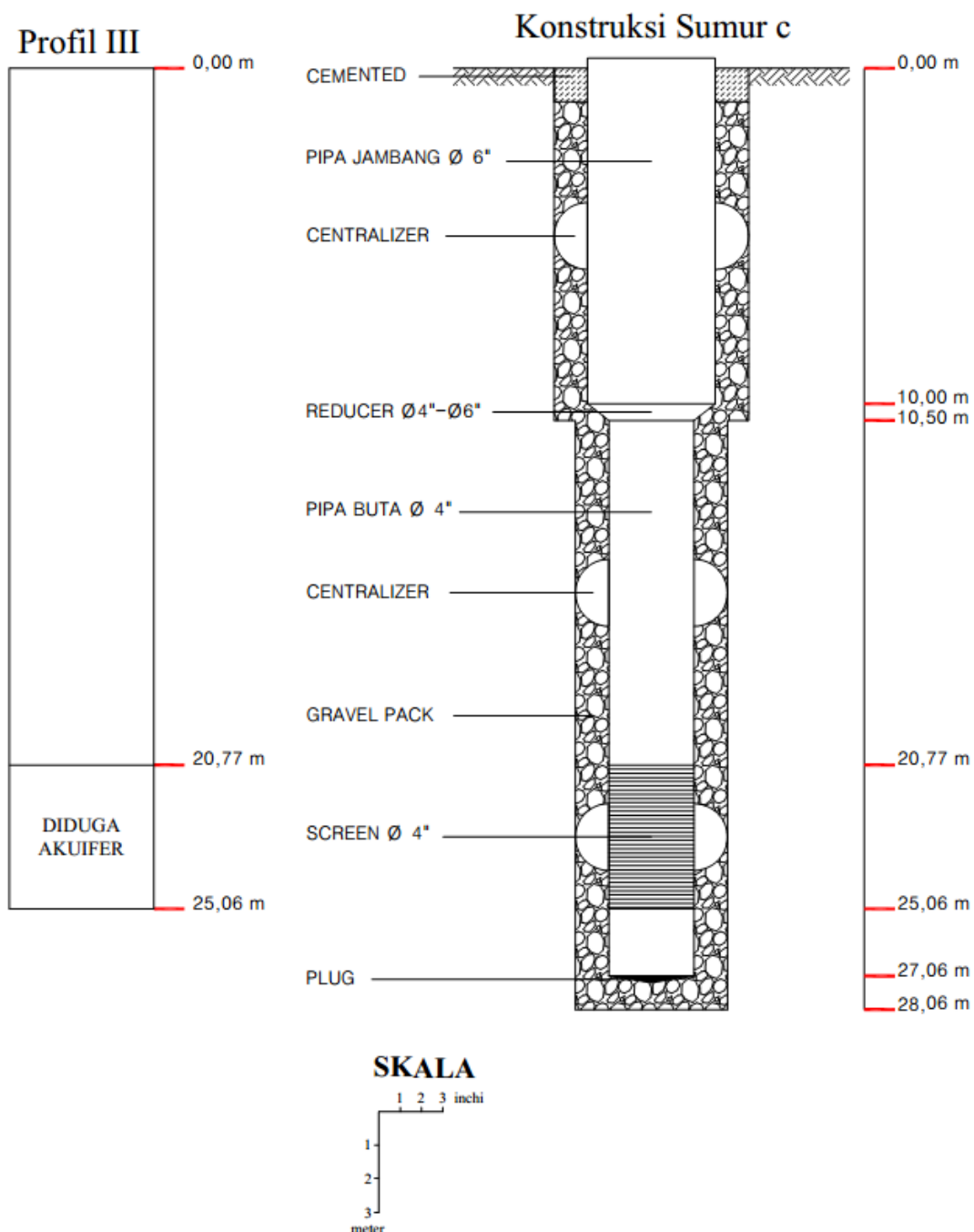
**SKALA**

Gambar 4.10 Konstruksi sumur b

SMTA : c

LOKASI : Ds. Sembon, Kec. Karangrejo, Kab.Tulungagung
KOORDINAT : 111° 53' 59,6" BT 8° 00' 29,3" LS

KEDALAMAN : 28,06 m
ELEVASI : +99 mdpl

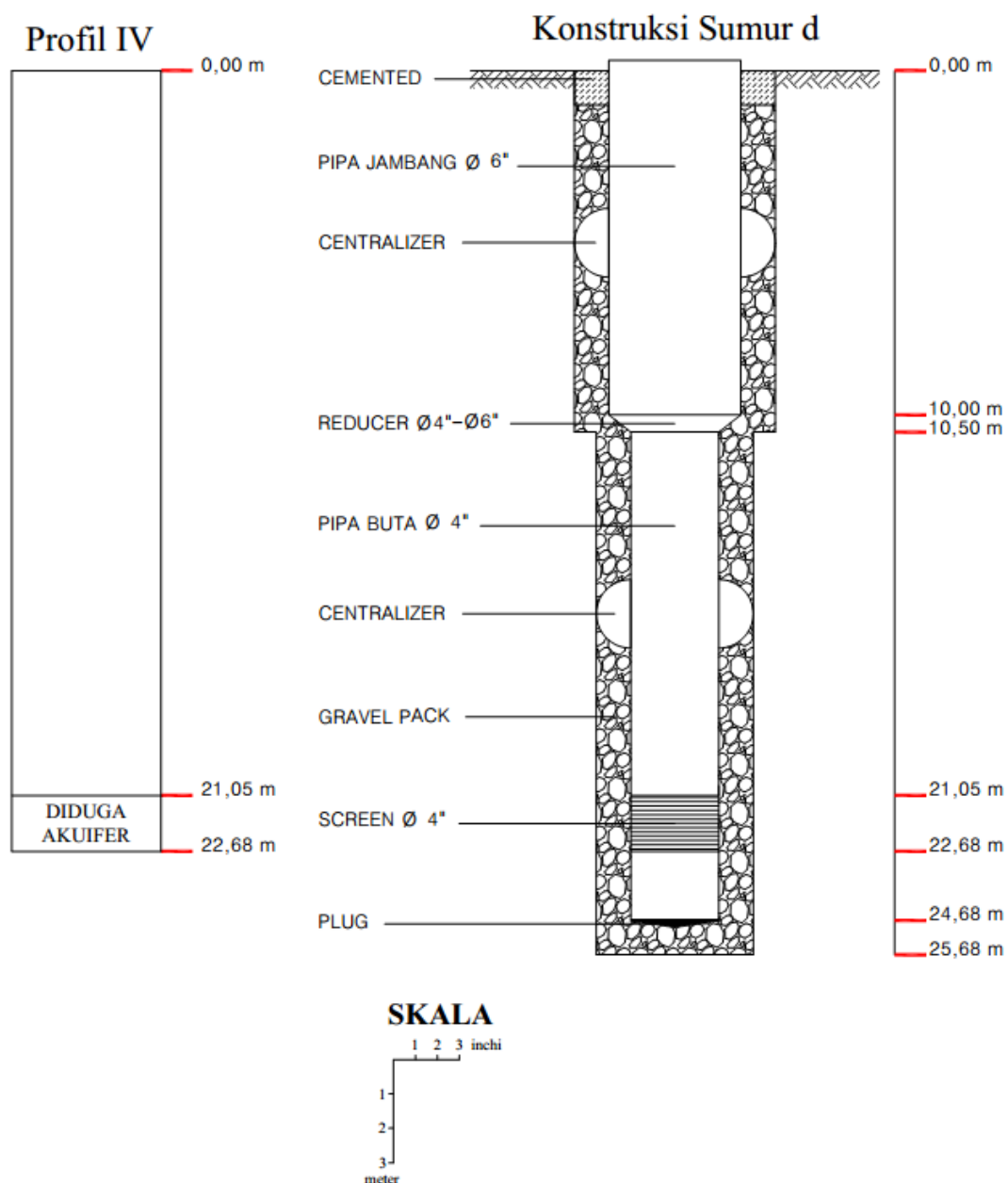


Gambar 4.11 Konstruksi sumur c

SMTA : d

LOKASI : Ds. Sembon, Kec. Karangrejo, Kab.Tulungagung
KOORDINAT : 111° 53' 57,7" BT 8° 00' 33,6" LS

KEDALAMAN : 25,68 m
ELEVASI : +99 mdpl



Gambar 4.12 Konstruksi sumur d

Masing-masing sumur yang direncanakan dalam gambar 4.9 sampai dengan 4.12, memiliki spesifikasi sebagai berikut:

1. Sumur a pada profil I memiliki spesifikasi konstruksi sebagai berikut.

- a. Lokasi $8^{\circ} 0' 21,0''$ LS dan $111^{\circ} 53' 47,9''$ BT
- b. Kedalaman konstruksi 29,22 m
- c. Kedalaman pipa jambang 10 m
- d. Posisi *screen* pada kedalaman 21,99 m – 26,22 m
- e. Posisi pipa buta pada kedalaman 10,50 m – 21,99 m

Berdasarkan spesifikasi konstruksi seperti diuraikan di atas dapat digunakan mesin pompa dengan spesifikasi tinggi tekan 28 m dengan potensi debit pemompaan sebesar 16,67 liter/detik.

2. Sumur b pada profil II memiliki spesifikasi konstruksi sebagai berikut.

- a. Lokasi $8^{\circ} 0' 22,0''$ LS dan $111^{\circ} 53' 49,4''$ BT
- b. Kedalaman konstruksi 28,21 m
- c. Kedalaman pipa jambang 10 m
- d. Posisi *screen* pada kedalaman 20,16 m – 25,21 m
- e. Posisi pipa buta pada kedalaman 10,50 m – 20,16 m

Berdasarkan spesifikasi konstruksi seperti diuraikan di atas dapat digunakan mesin pompa dengan spesifikasi tinggi tekan 28 m dengan potensi debit pemompaan sebesar 16,67 liter/detik.

3. Sumur c pada profil III memiliki spesifikasi konstruksi sebagai berikut.

- a. Lokasi $8^{\circ} 0' 29,3''$ LS dan $111^{\circ} 53' 59,6''$ BT
- b. Kedalaman konstruksi 28,06 m
- c. Kedalaman pipa jambang 10 m
- d. Posisi *screen* pada kedalaman 20,77 m – 25,06 m
- e. Posisi pipa buta pada kedalaman 10,50 m – 20,77 m

Berdasarkan spesifikasi konstruksi seperti diuraikan di atas dapat digunakan mesin pompa dengan spesifikasi tinggi tekan 28 m dengan potensi debit pemompaan sebesar 16,67 liter/detik.

4. Sumur d pada profil IV memiliki spesifikasi konstruksi sebagai berikut.

- a. Lokasi $8^{\circ} 0' 33,6''$ LS dan $111^{\circ} 53' 57,7''$ BT
- b. Kedalaman konstruksi 25,68 m
- c. Kedalaman pipa jambang 10 m
- d. Posisi *screen* pada kedalaman 21,05 m – 22,68 m

- e. Posisi pipa buta pada kedalaman 10,50 m – 21,05 m

Berdasarkan spesifikasi konstruksi seperti diuraikan di atas dapat digunakan mesin pompa dengan spesifikasi tinggi tekan 28 m dengan potensi debit pemompaan sebesar 16,67 liter/detik.

